

MRT des weiblichen Beckens – eine aktuelle Standortbestimmung

Karsten Krüger

Humboldt – Klinikum und Klinikum Spandau



Gliederung - MRT des weiblichen Beckens

- allgemeine und technische Aspekte
- Erkrankungen des Uterus
 - Zervixkarzinom
 - Korpuskarzinom
- Ovarialtumore
- Endometriose
- Funktionsstörungen des Beckenbodens

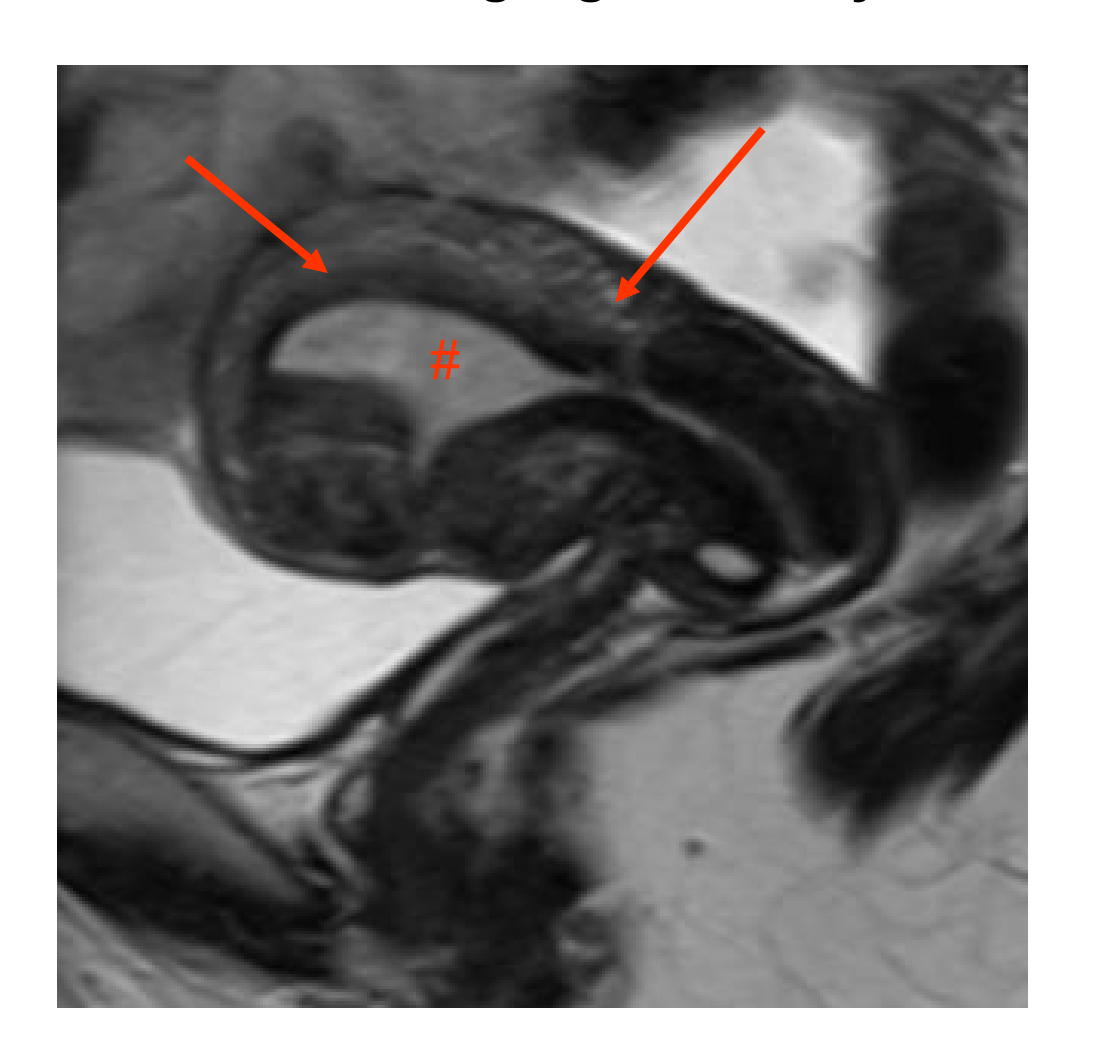


Gynäkologische Anamnese für den Radiologen:

- aktuelle Beschwerden
- Gynäkologische Eingriffe
- Schwangerschaften
- Hormontherapie
- Zyklusphase
- Verdachtsdiagnose

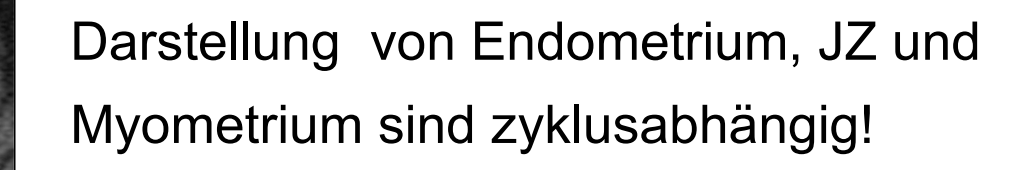


Physiologische Dreischichtung: Endometrium – Übergangszone - Myometrium





Physiologische Varianten der Uterusanatomie



Menstruationsphase



Weitere
Einflussfaktoren:
orale Antikonzeptiva





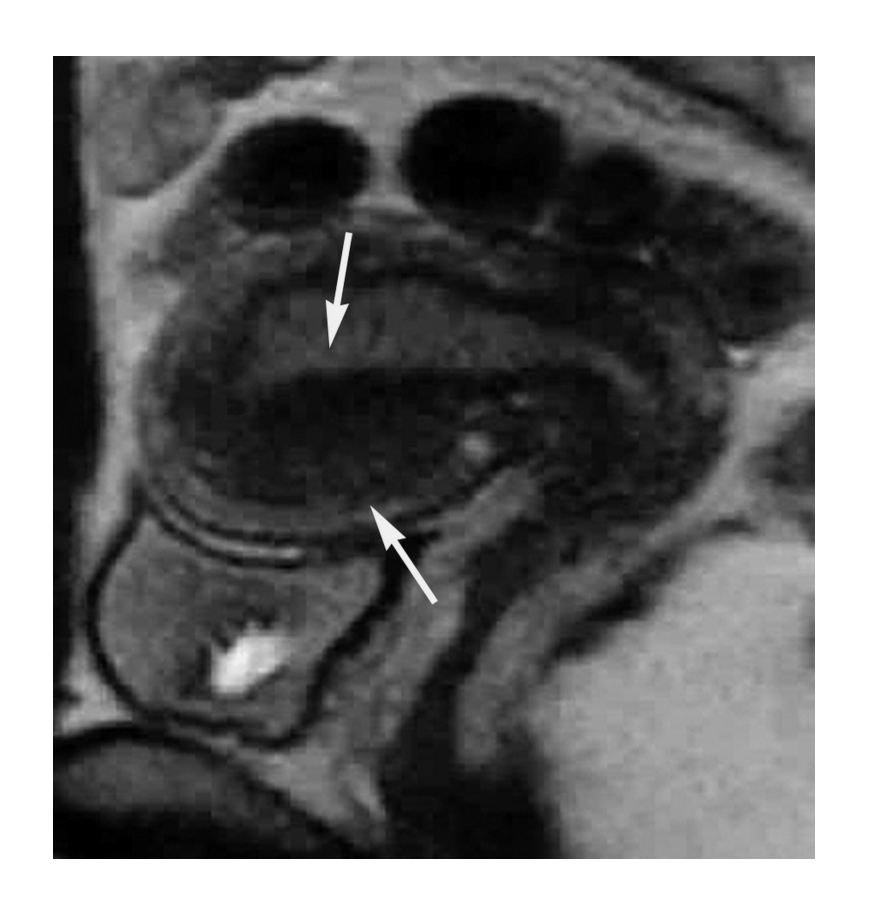
Breite des Endometriums variabel

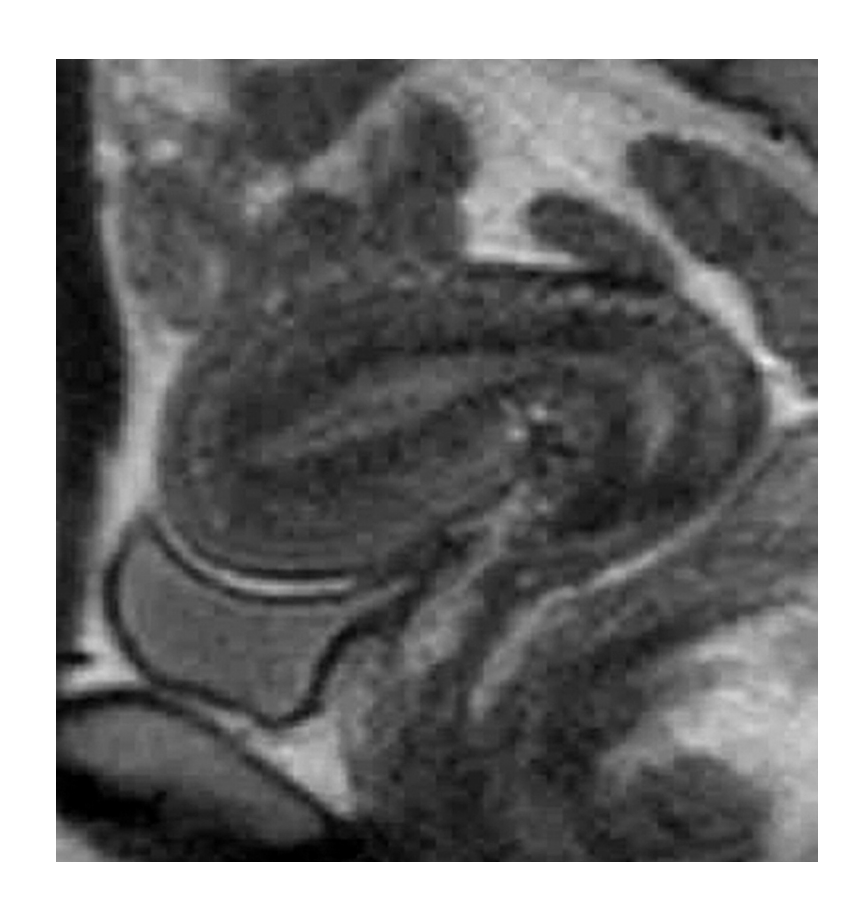
Zyklusabhängig

- 1 4 mm (Menstruationsphase)
- 5 7 mm (Proliferationsphase)
- 7 16 mm (Sekretionsphase), Maximum mittlere Sekretionsphase
- Hormonabhängig
- Altersabhängig
 - Postmenopausal < 5mm, keine fokalen Verdickungen



Pitfall: Pseudoverbreiterung der Übergangszone





1. Tag der Menstruation

3. Tag des Menstruation

→ Menstruationsphase vermeiden



MRT weibliches Becken – adaptierte Untersuchungstechnik

- Vaginale Kontrastierung
- rektale Kontrastierung
- Spasmolytikum
- Optimale Füllung der Harnblase
- Schichtführung und verwendete Sequenzen
- Kontrastmittel

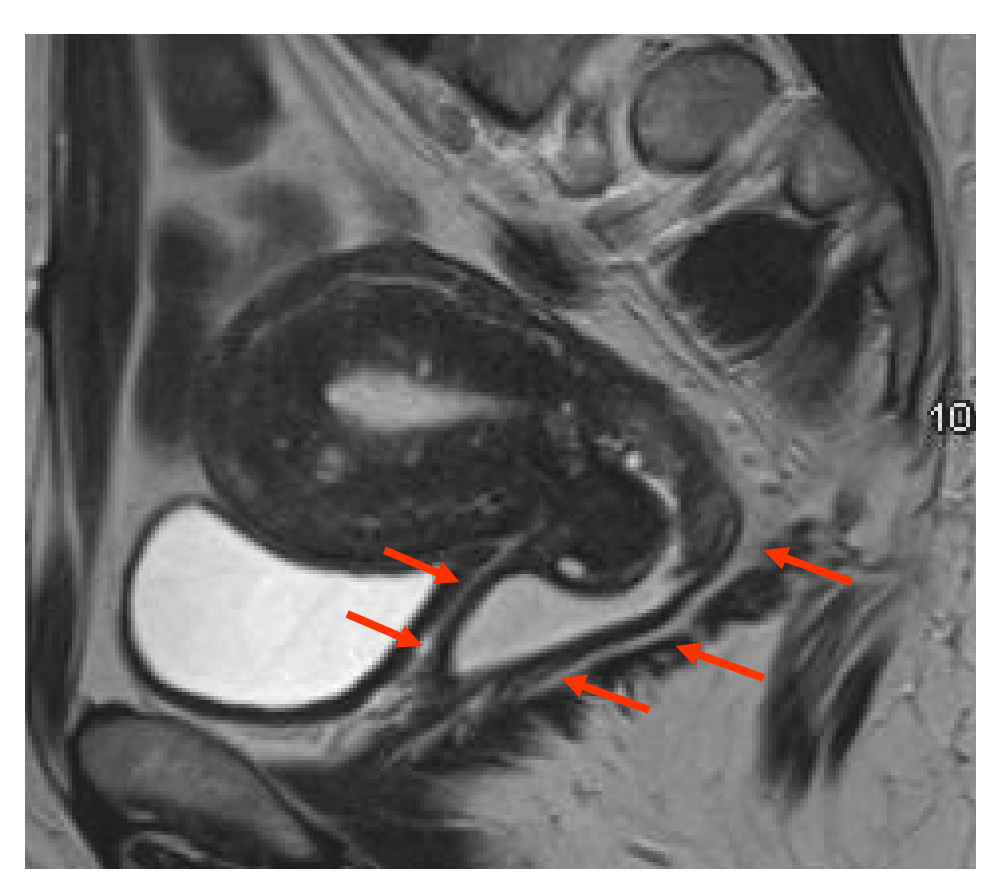


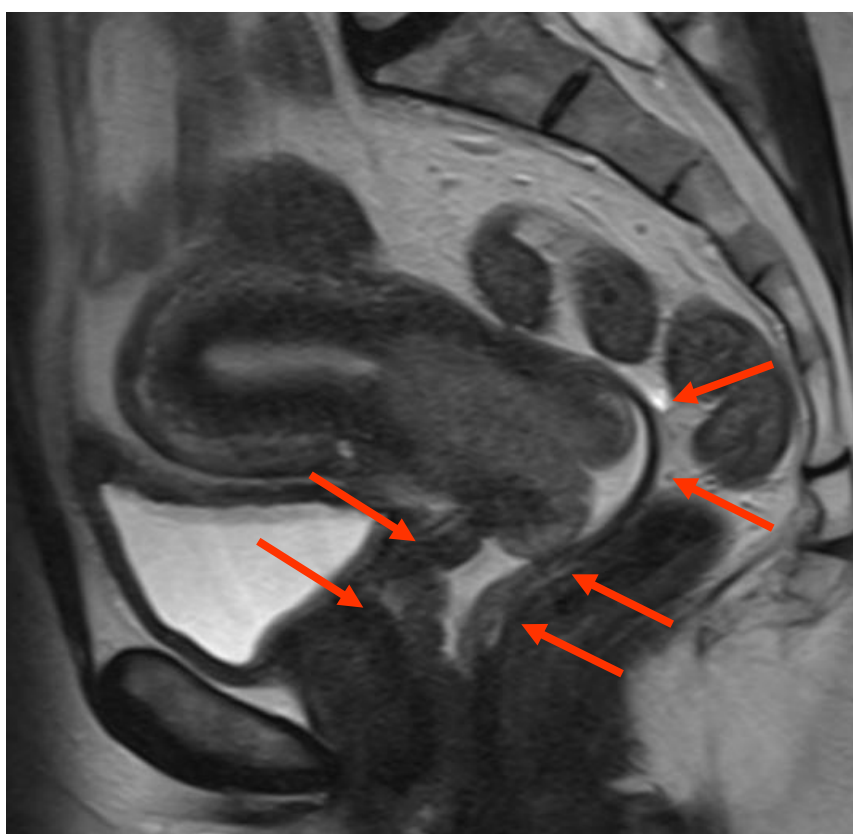
Winkelung der Bilder zur Zervix- oder Uterusachse





MRT Untersuchungstechnik: Kontrastierung der Vagina







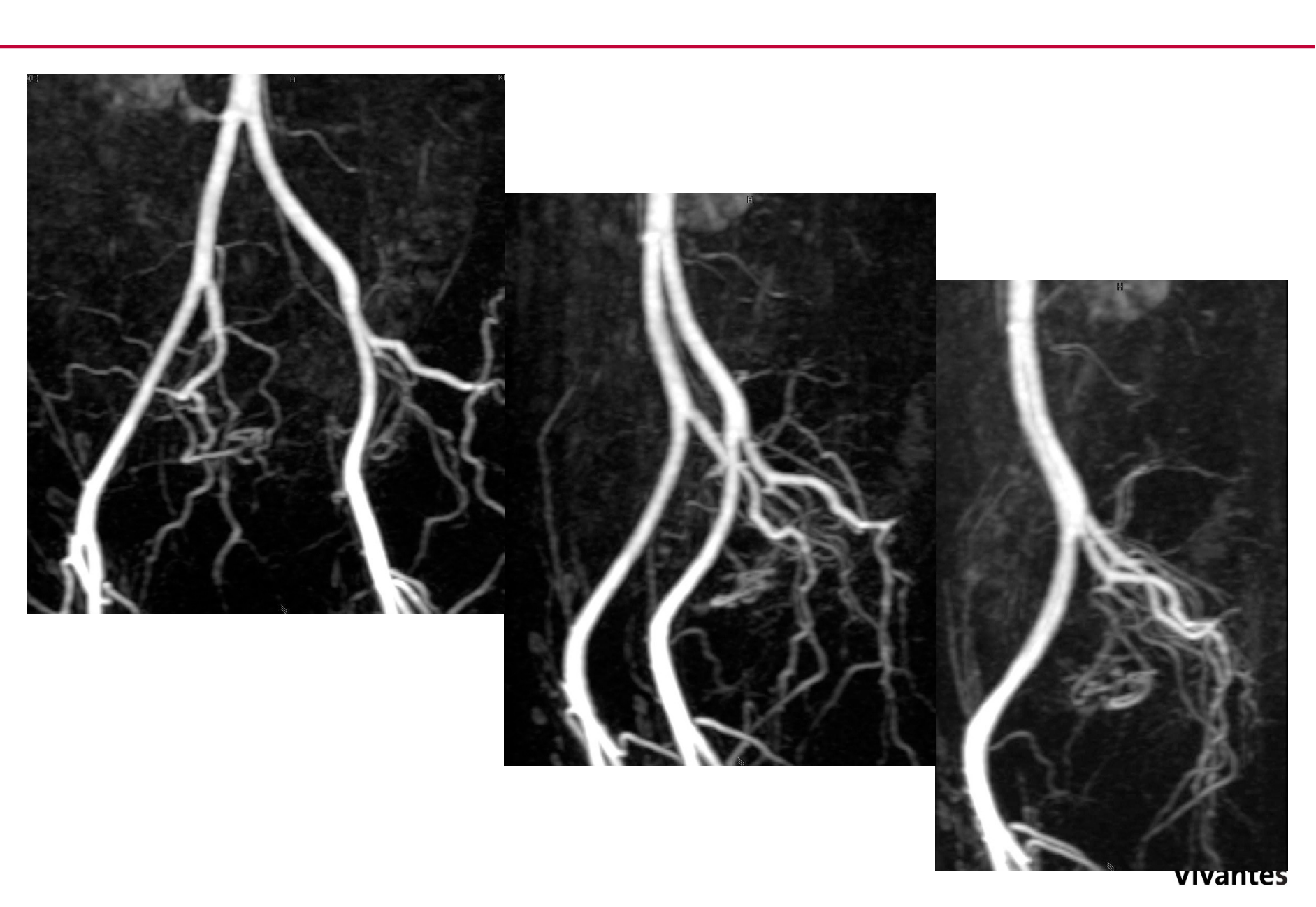
Optimale Füllung von Harnblase und Rektum sind wichtig!





9:00

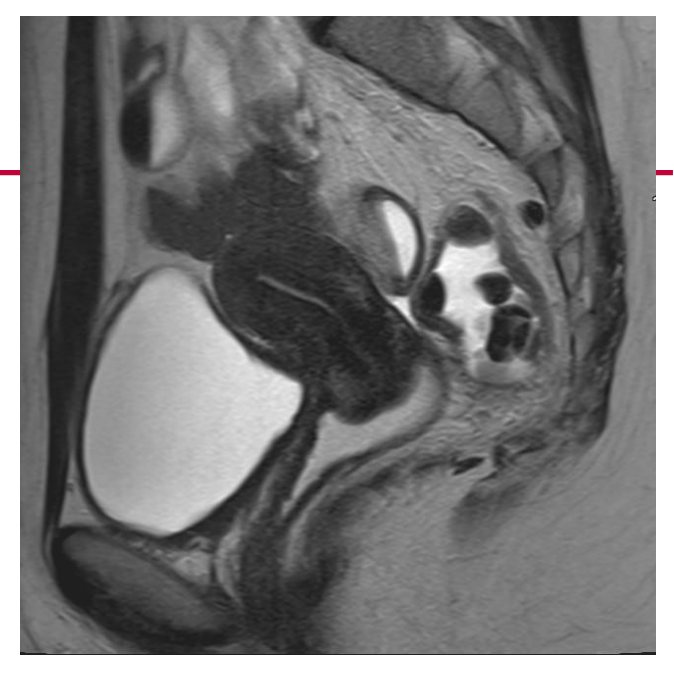
ر Vivantes

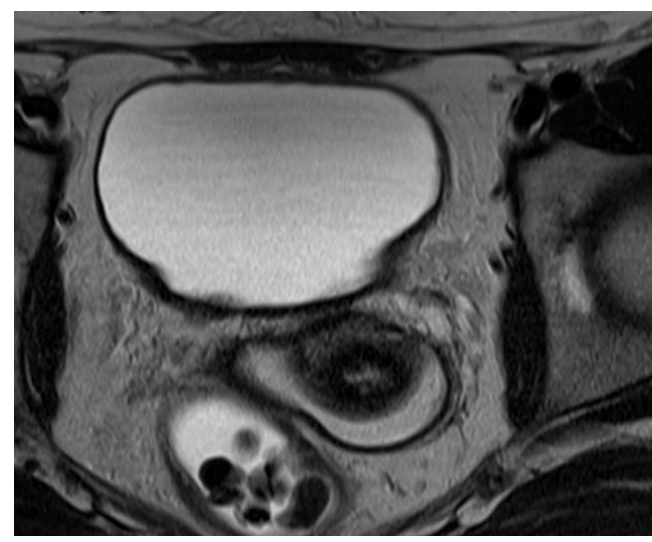


MRT – Untersuchungstechnik: Zervix

 T2 w sagittal transversal, coronal

- T1 transversal
- T2 GRE coronal mit großem FOV
- T1 FS+KM transversal, sagittal
- ggf. 3D T2w
- ggf. dynamische T1 KM
- ggf. DWI / ADC







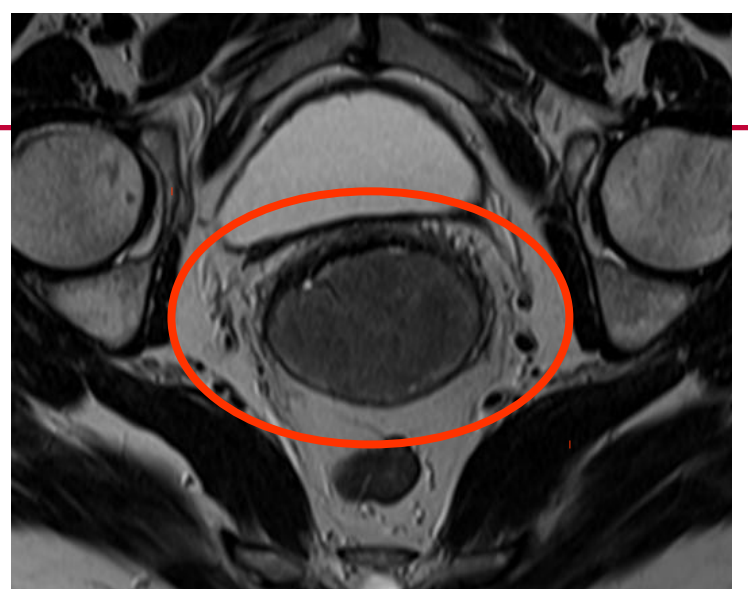
MRT ab FIGO IB2 (Tumorgröße > 4 cm)

- Zur Bestimmung der Tumorgröße
- Lagebeziehung zu benachbarten Organen und
- Infiltrationstiefe



T1b2 – FIGO IB2







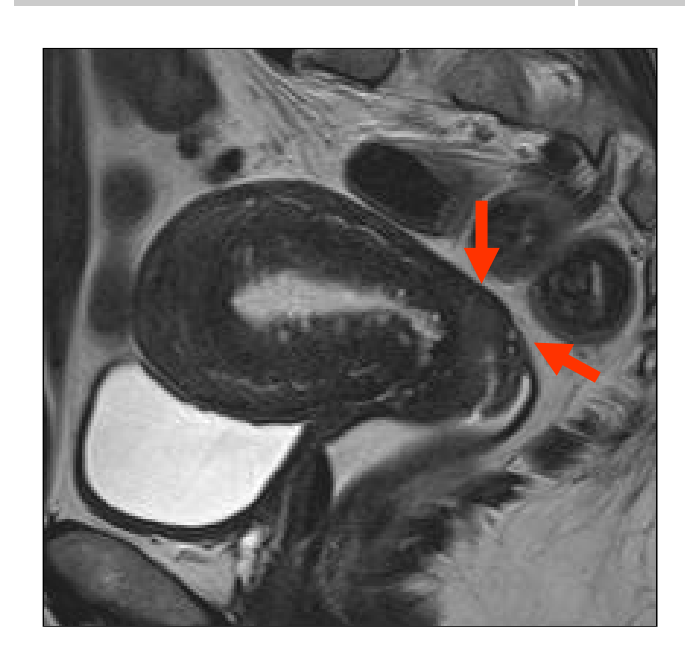


TNM		FIGO
Tis	Carcinoma in situ	-
T1	Begrenzung auf Uterus	1
T1a	Dx nur mikroskopisch	IA
T1a1	Tiefe ≤ 3 mm, horizonal < 7 mm	IA1
T1a2	Tiefe > 3-5 mm, horizonal ≥ 7 mm	IA2

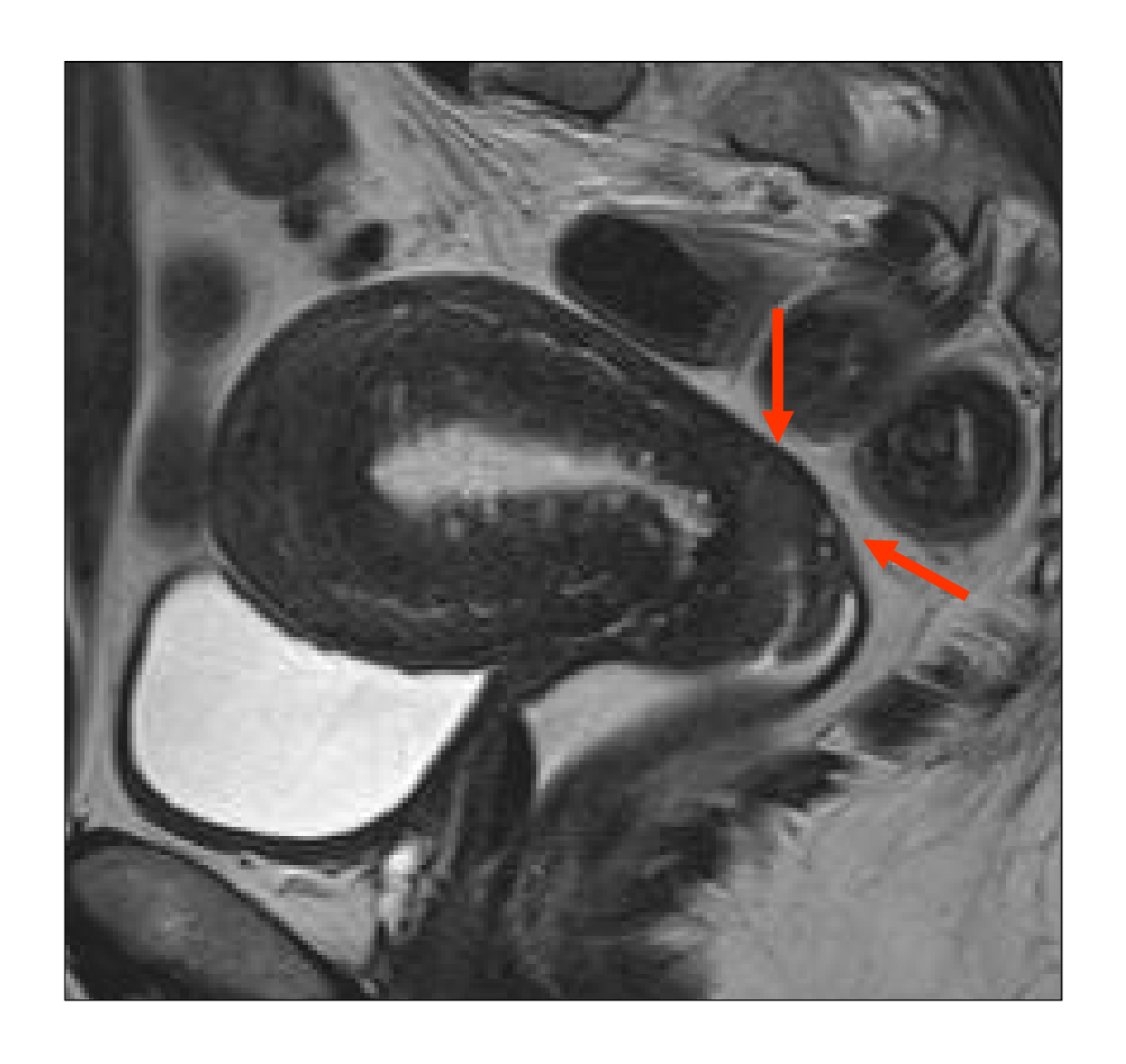
- Kleinster detektierbarer Tumor im MRT: ab 3-5 mm
- Meist mindestens T1a2 bei pathologischem Signal in T2



TNM		FIGO
T1b	Klinisch sichtbar, nur mikroskopisch diagnostiziert, größer als T1a2	IB
T1b1	≤ 4 cm	IB1
T1b2	> 4cm	IB2

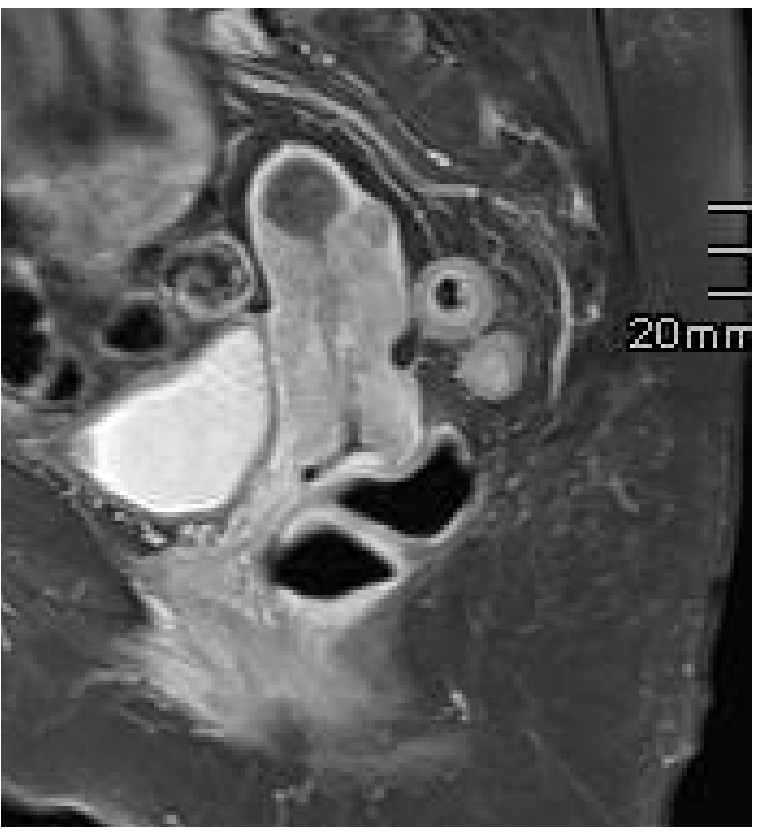










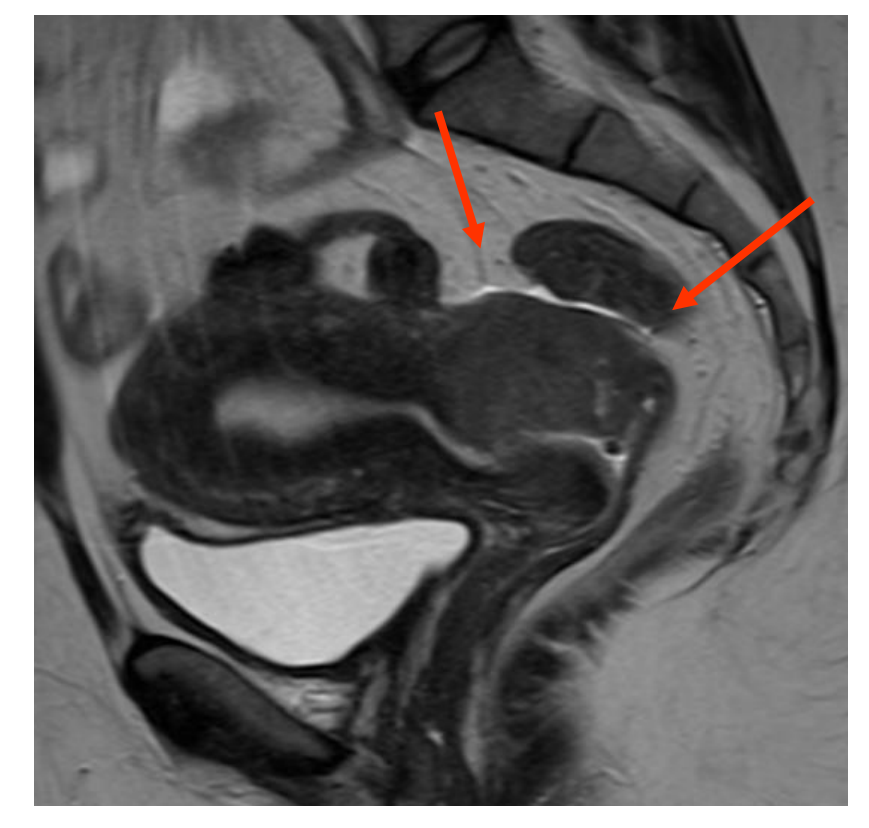


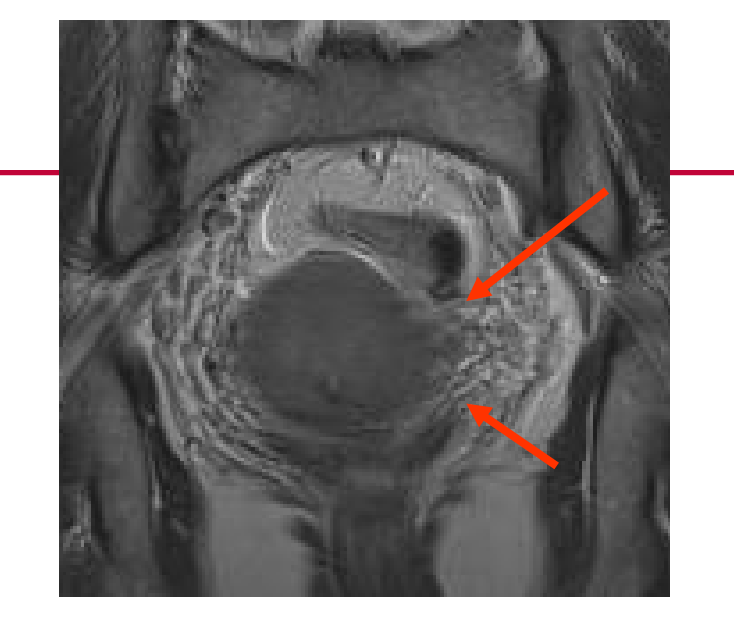


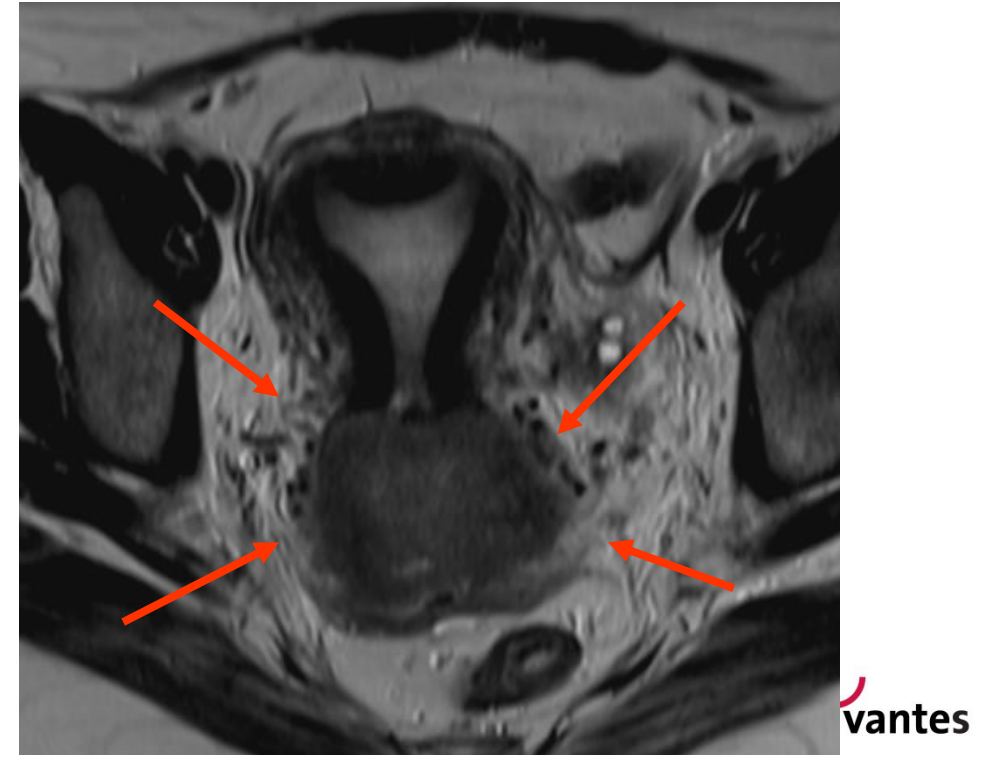
TNM		FIGO
T2	Ausdehnung jenseits des Uterus, aber nicht bis zur Beckenwand und nicht zum unteren Drittel der Vagina	II
T2a	Parametrium frei	IIA
T2a1	≤ 4 cm	IIA1
T2a2	> 4 cm	IIA2
T2b	Parametrium befallen	IIB

Beteiligung de	<u>r Vagina</u>	Beteiligung Pa	<u>rametrien</u>	
Genauigkeit	86 - 93%	Sensitivität	68 - 79%	
		Spezifität	80 - 99%	
		Genauigkeit	68 - 96%	ر Vivantes

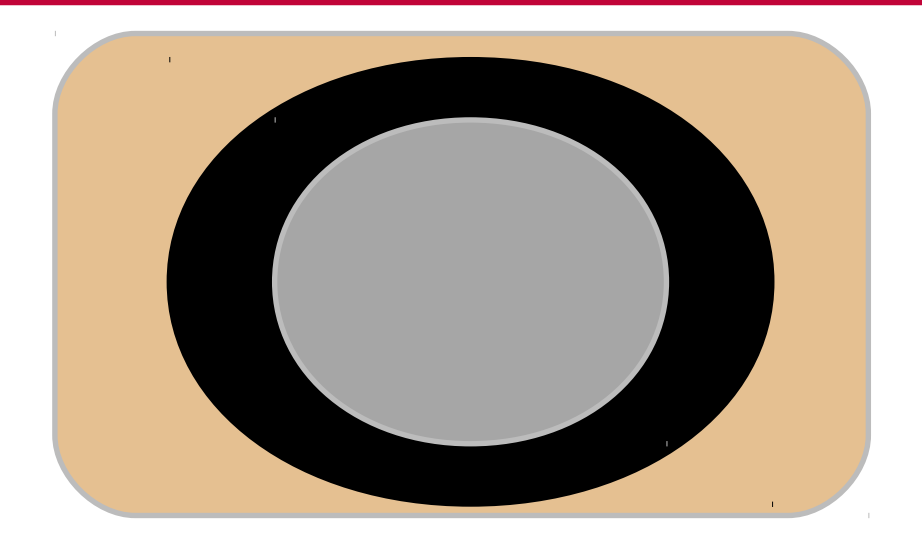
T2b – FIGO II B Parametrien betroffen







Beteiligung der Parametrien

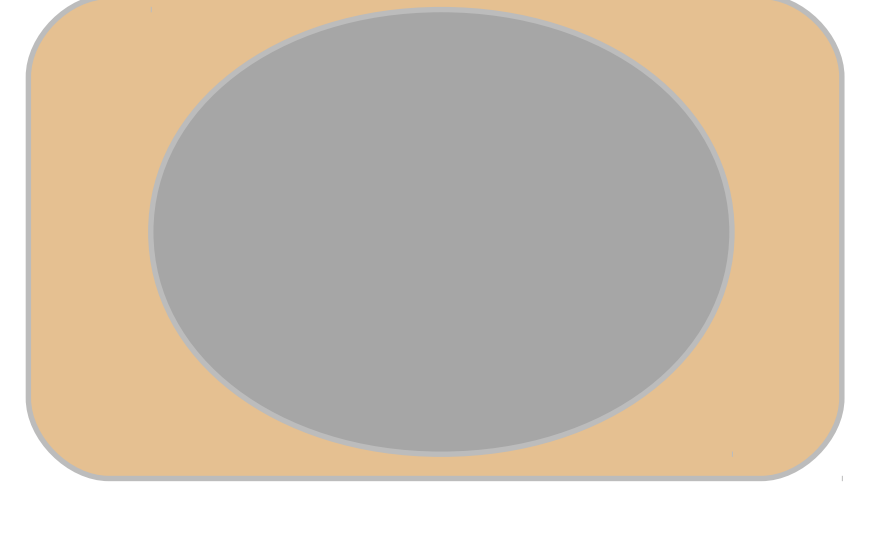


A

Tumor erreicht **nicht** die Grenze des hypointensen Stromas

Ausschluss einer Infiltration der Parametrien sehr sicher:

NPV: 94 - 100%



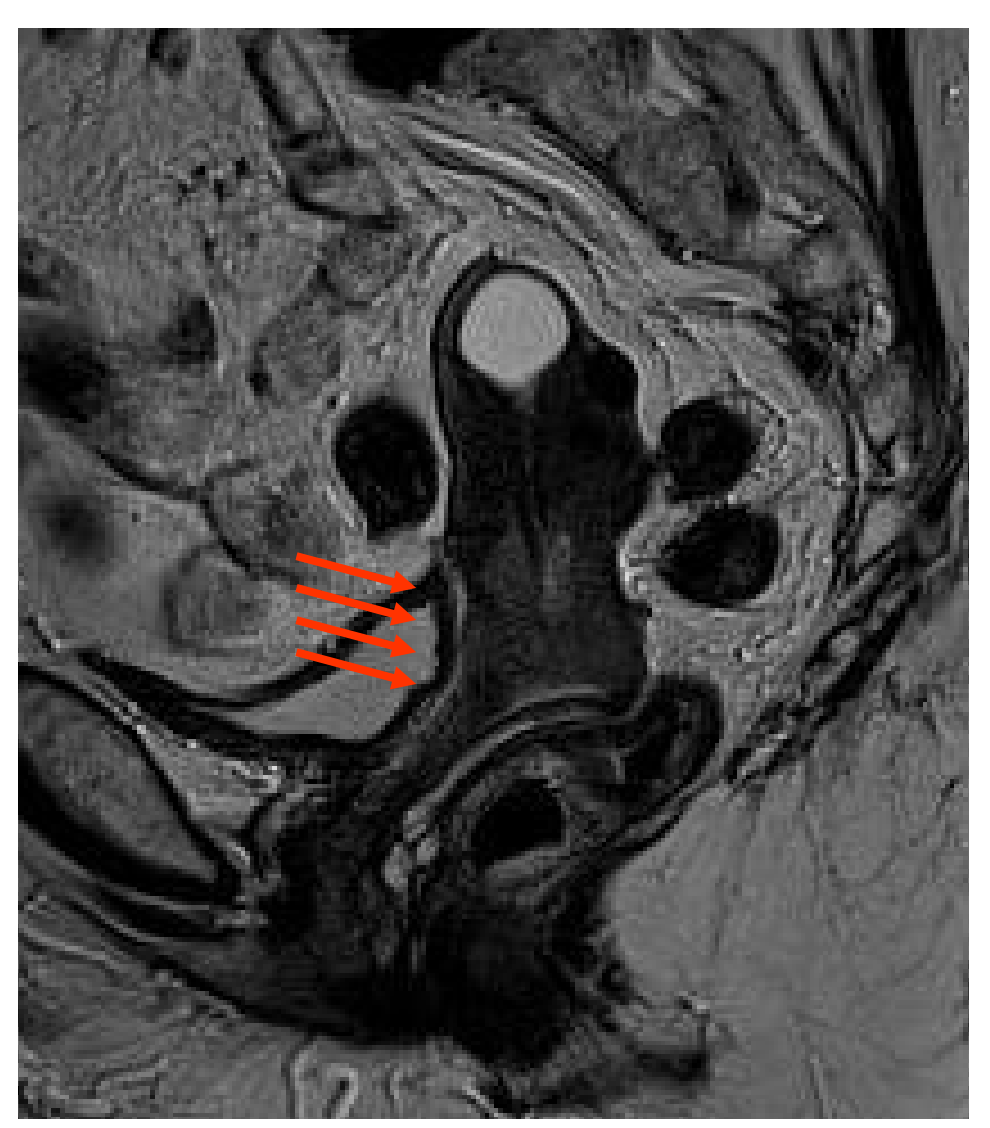
B

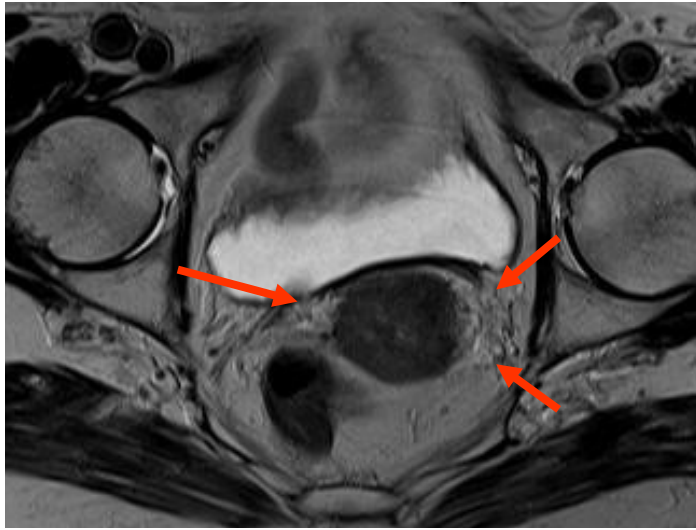
Tumor erreicht die Grenze des hypointensen Stromas

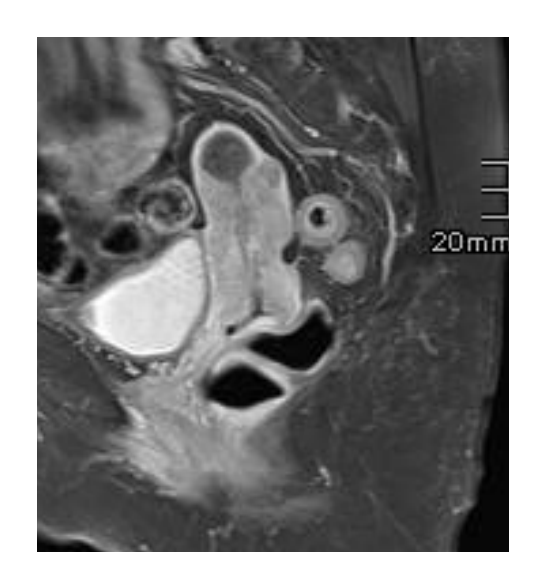
PPV: 50%



Ausbreitung auf oberes Drittel der Vagina



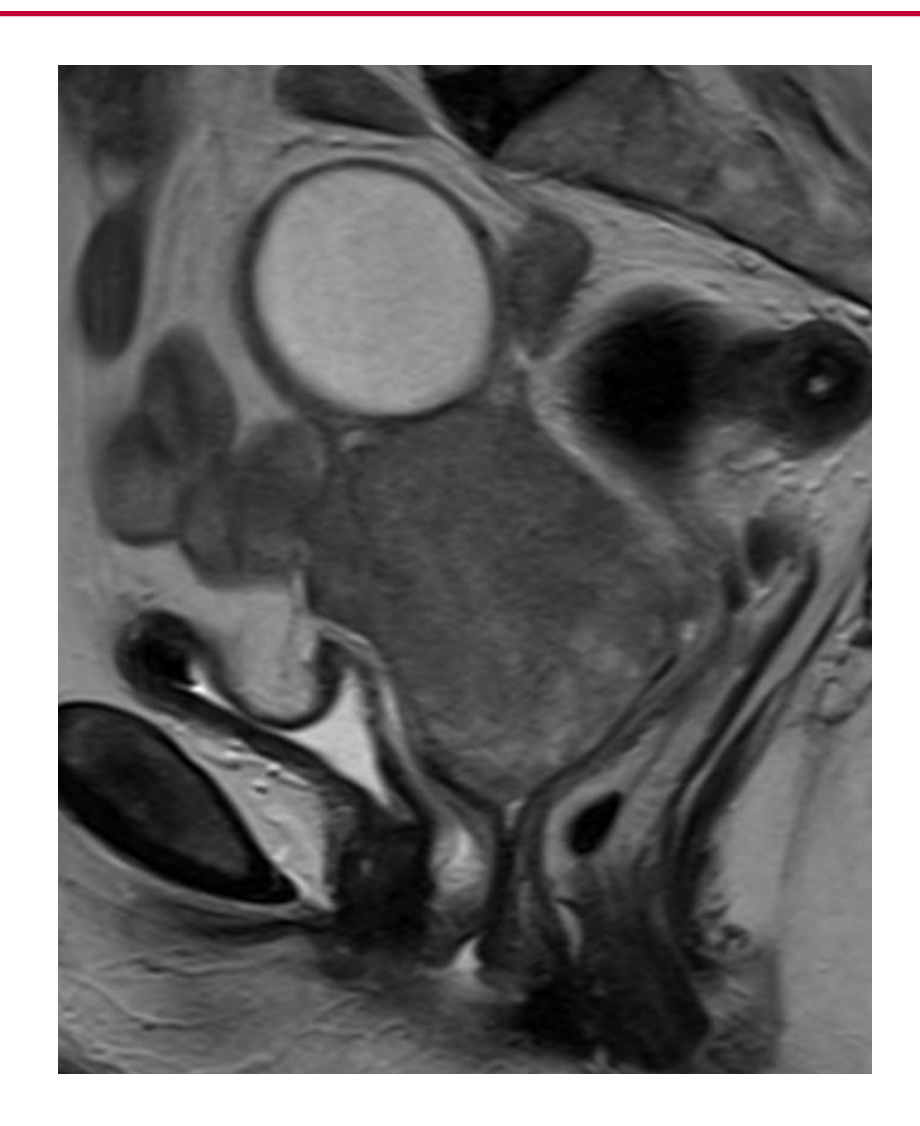


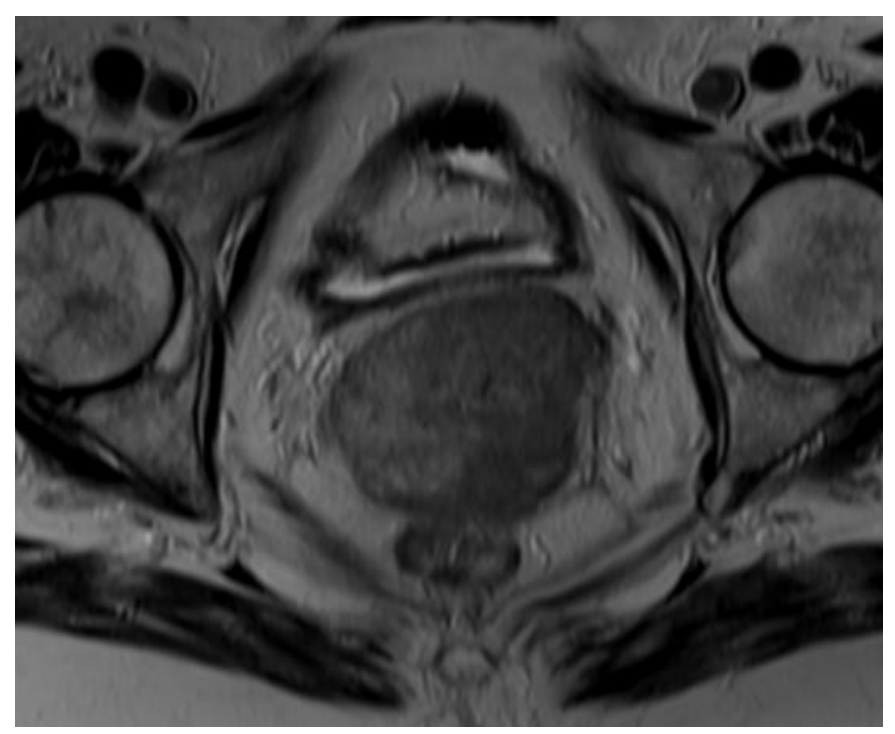




T2b – FIGO II B Parametrien

Lymphangiose = L1, gilt nicht als Beteiligung der

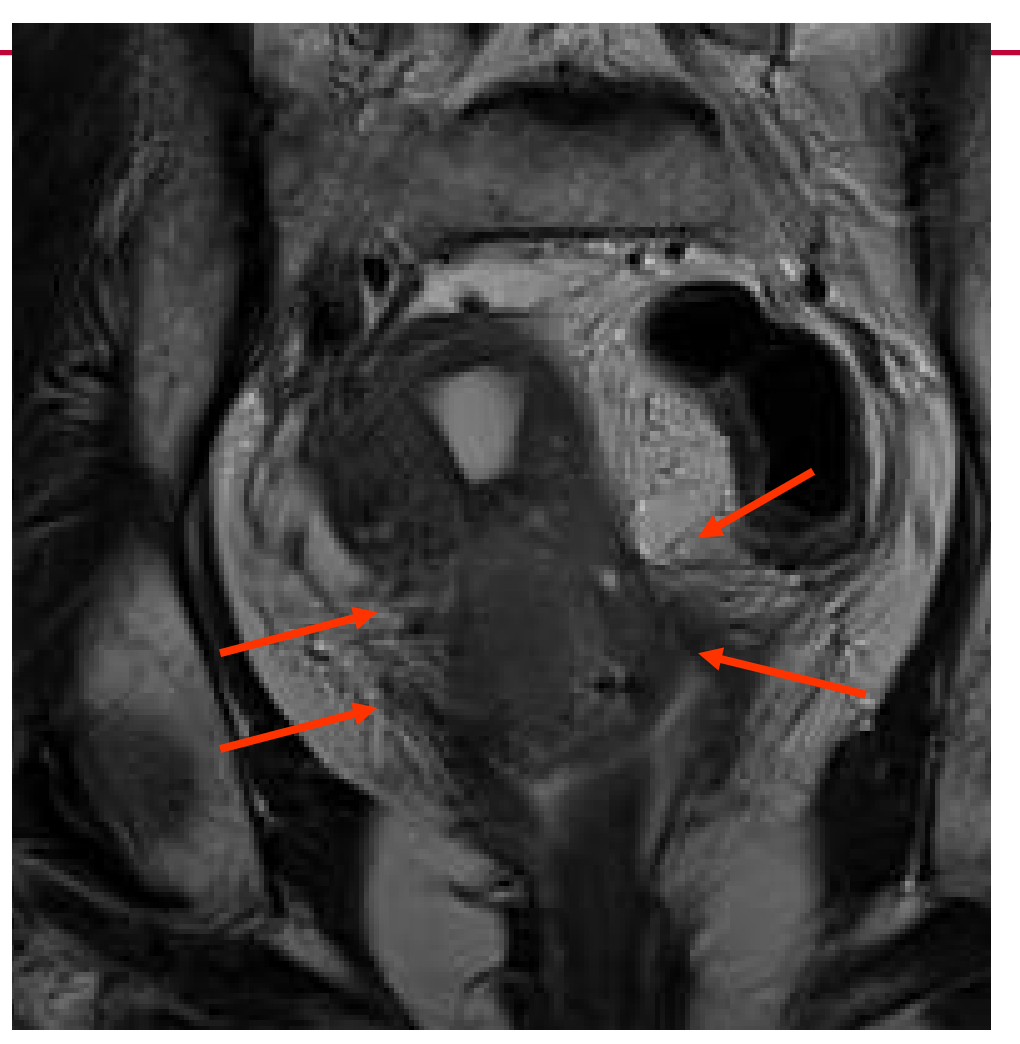






T2b - FIGO IIB





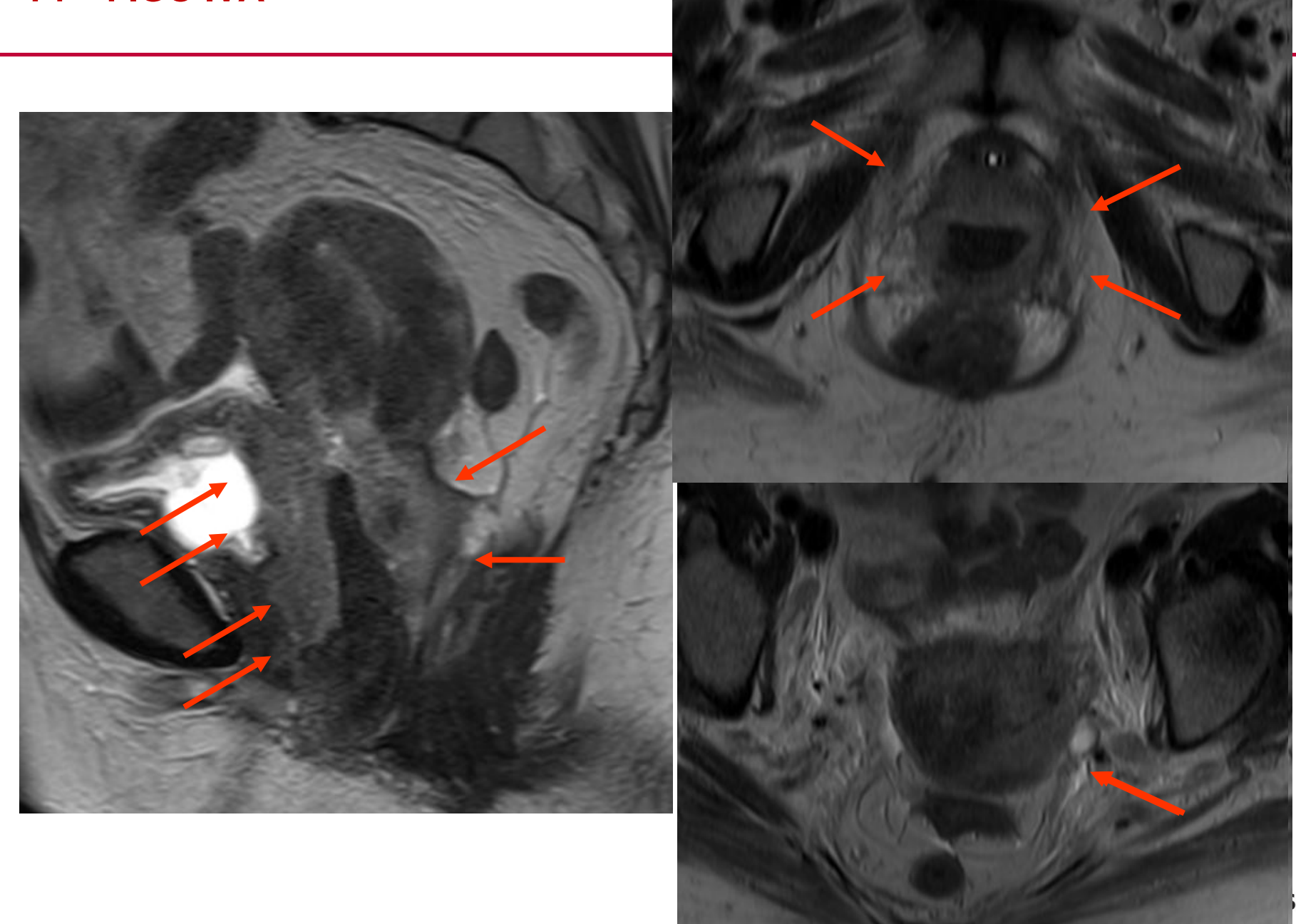
- Parametrium links, Lymphangiosis carcinomatosa
- intramuköse Ausbreitung im Endometrium bis rechter Tubenwinkel,
- DD primäres Endometrium-Ca



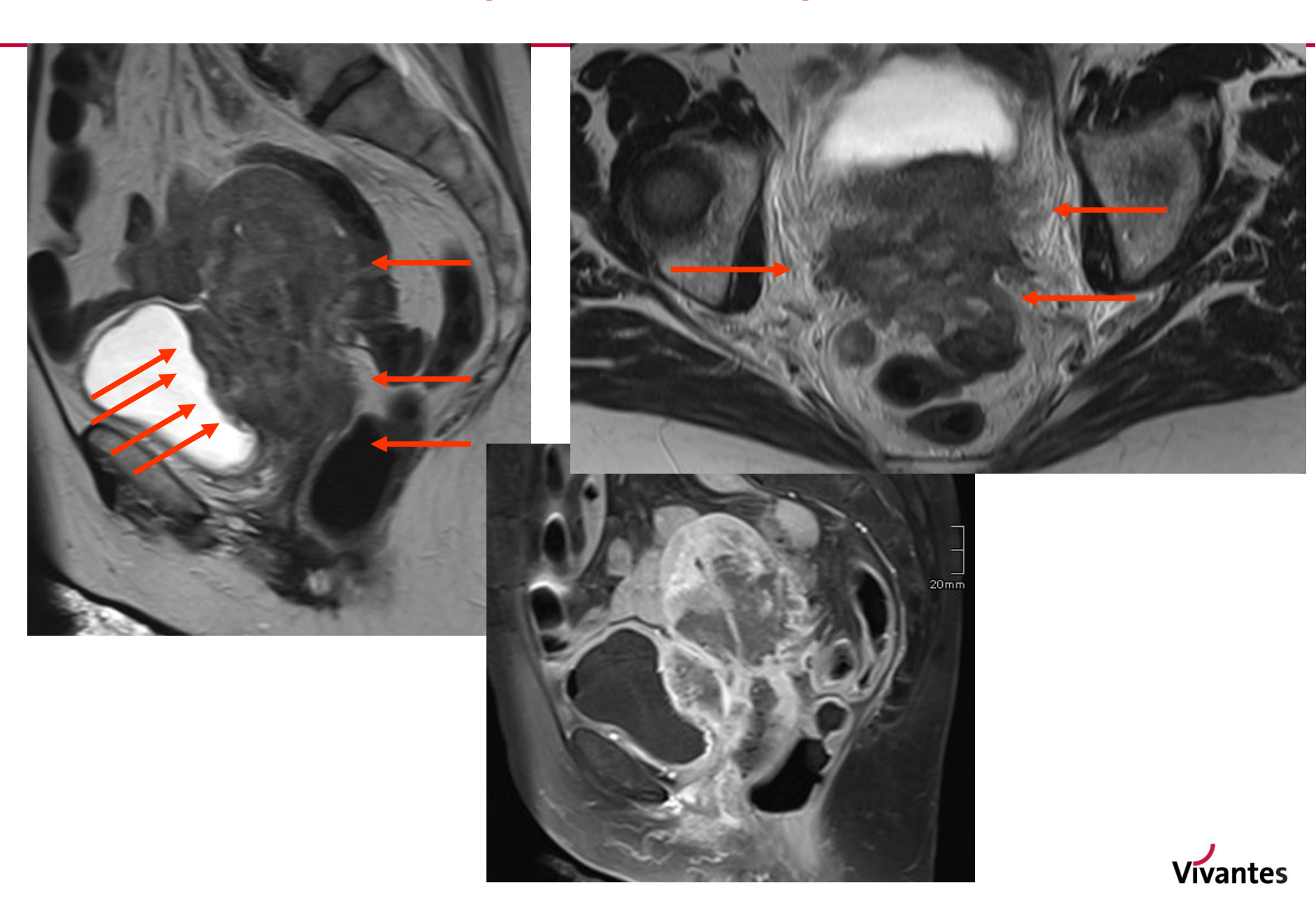
TNM		FIGO
T3	Ausdehnung zum unteren Vaginaldrittel/ Beckenwand/ verursacht Hydronephrose oder stumme Niere	
ТЗа	Unteres Vaginaldrittel	IIIA
T3b	Beckenwand und/oder Hydronephrose, stumme Niere	IIIB

Beteiligung Beckenwand

Genauigkeit des MRT ca. 85 %



Vagina, Harnblase, Sigma



TNM		FIGO
T4	Infiltration Schleimhaut von Harnblase/Rektum, jenseits kleines Becken	IVA
N1	Regionäre Lymphknoten	-
M1	Fernmetastasen	IVB

Infiltration Harnblase und Rektum		Lymphknotenstaging	
Sensitivität	80 - 85%	Sensitivität	25-90%
Spezifität	93 - 95%	Spezifität	80-90%
Genauigkeit	87 - 99%		



Lymphknotenstaging

Regionale LK	Keine regionalen LK
- Parazervikal	Paraaortale LK
- Parametran	
- Hypogastrisch	
NII iliacae internae,	
NII. Obturatoriae	Pathologische LK:
NII. Iliacae communes	
- Iliacae externae	-Kurze Achse > 10 mm -> 8 mm bei runden LK
- Präsacrale	-Parametrane LK > 5 mm
- Lateral sacral	



LK - Vergleich MRT - PET/CT

- 22 Pt.
- FIGO stage IB IVA

LK	MRT	PET-CT	Р
Sensitivität	30,3 %	57,6 %	0,026
Spezifität	92,6 %	92,6 %	1,0
Genauigkeit	72,7 %	85,1 %	0,18



Verlauf unter Therapie - MRT





Januar 2011

August 2011

nach primärer Radiochemotherapie



Restaging nach neoadjuvanter Radiochemotherapie

- 96 Pt., FIGO IB2-IVA, MRT/PET-CT 4-6 Wochen nach Therapie

Resttumor?	MRT	PET-CT
Sensitivität	86,1%	63,1%
Spezifität	74,5 %	89,2 %

LK	MRT	PET-CT
Sensitivität	35,7 %	28,6%
Spezifität	95,9%	97,8%



Zervix - Karzinom

Gesamtgenauigkeit

MRT 77 – 90%

CT 53 - 65%

Klinische Untersuchung 47 – 70%

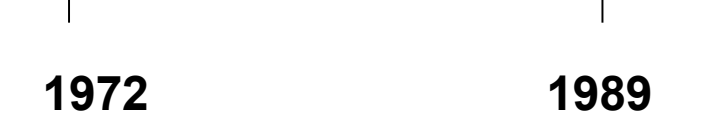


CT oder MRT?



Ein - Schicht - CT

1.



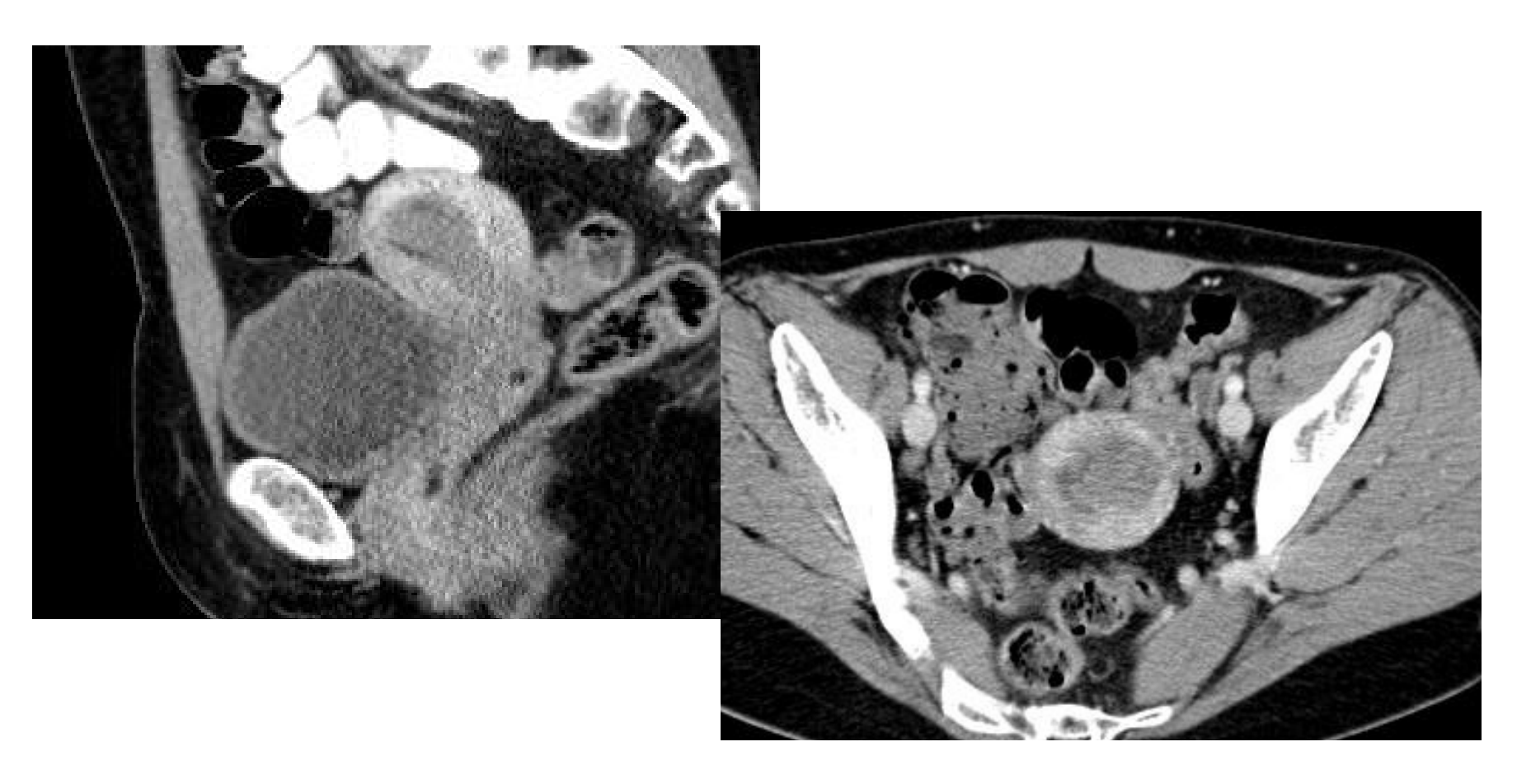




Spiral - CT

Zeilen



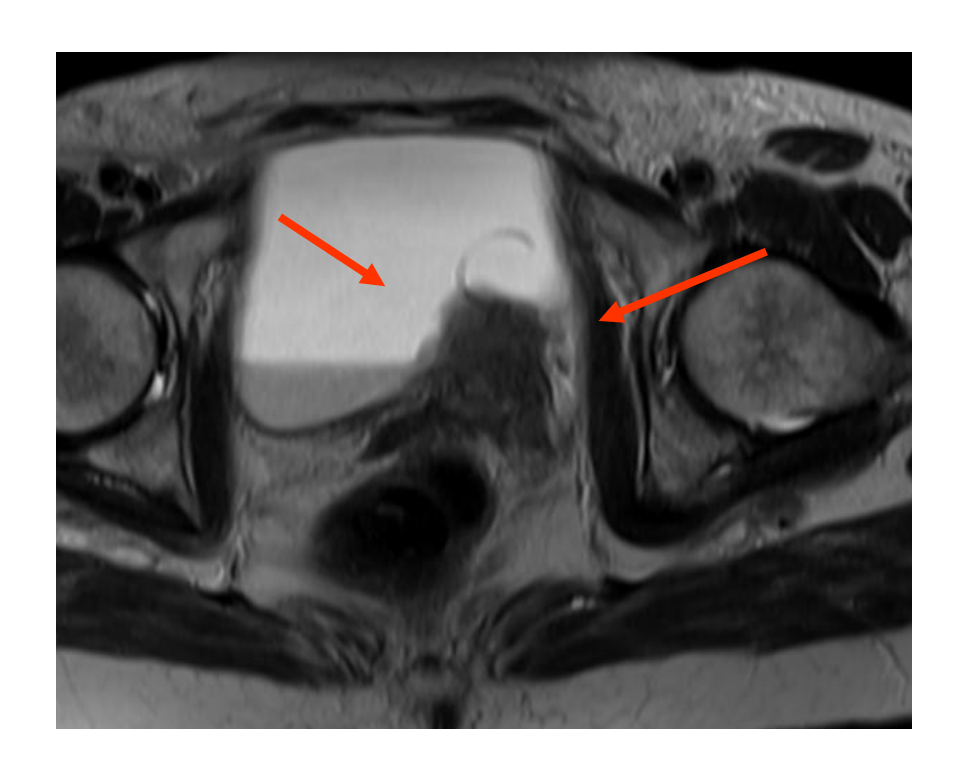


Endometriumkarzinom



Zervix-Karzinom Rezidiv

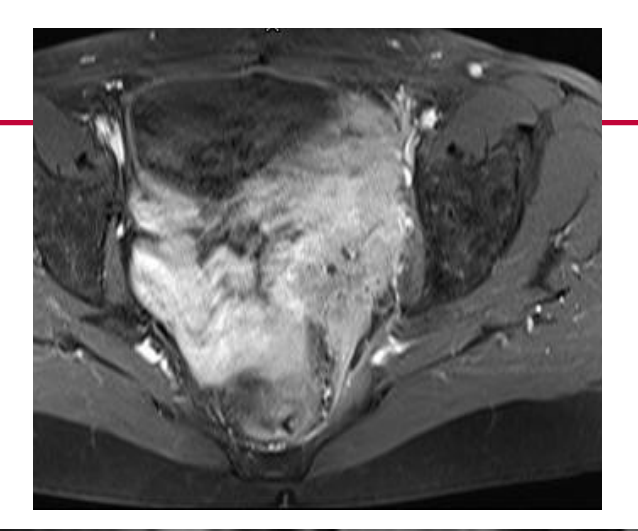
- •Sensitivität ca. 90 %
- •Spezifität 22 38%

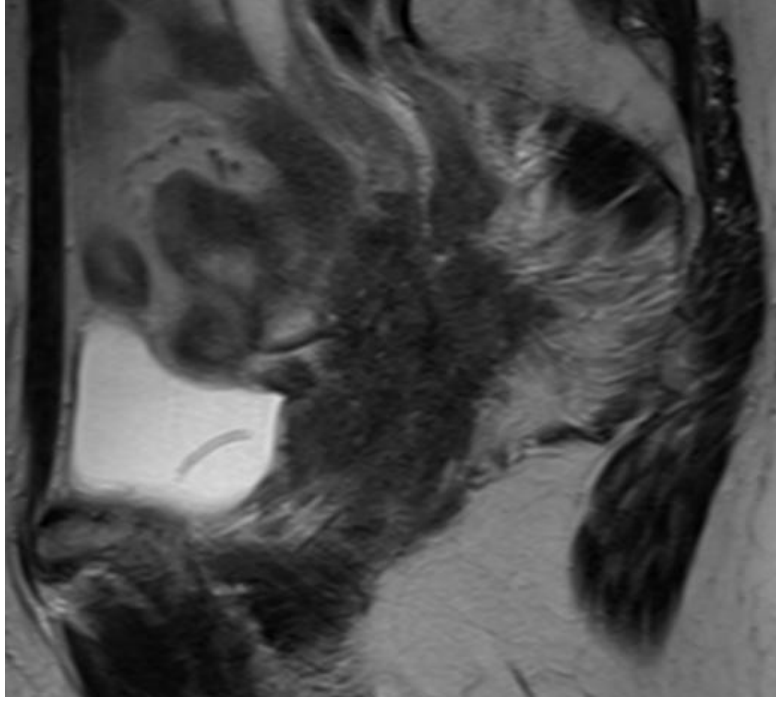


Weber Radiology 1995:135 Kinkel Radiology 1997:55 Hawighorst Am J Roentgenol 1996:401



MRT - Rezidivdiagnostik







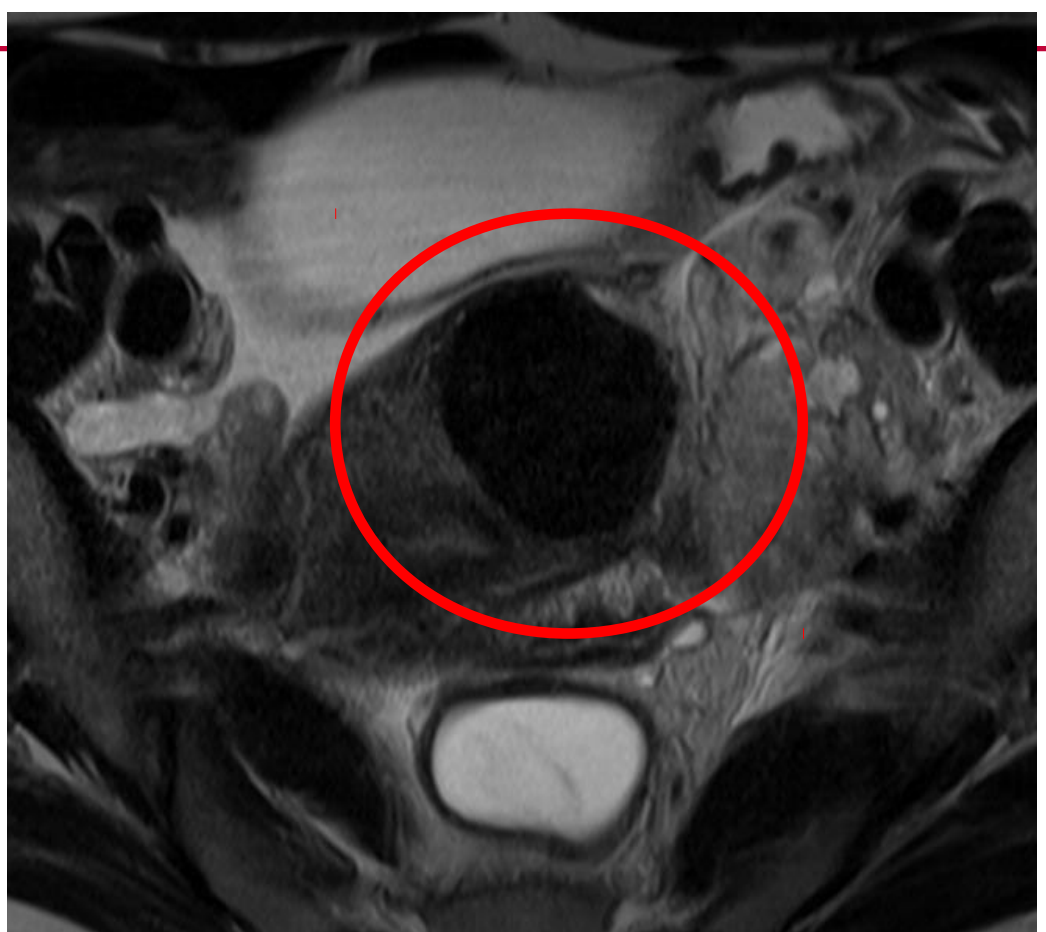
Leiomyom

- häufigster Tumor des Uterus
- Prävalenz von 30-40% im gebärfähigen Alter
- benigne
- solitär oder multipel auftretend
- Histologie: glatte Muskulatur mit fibrösem
 Bindegewebe, Begrenzung durch Pseudopaksel
- Corpus uteri 90%, Cervix uteri 10%
- submuköse, intramurale oder subseröse Lage



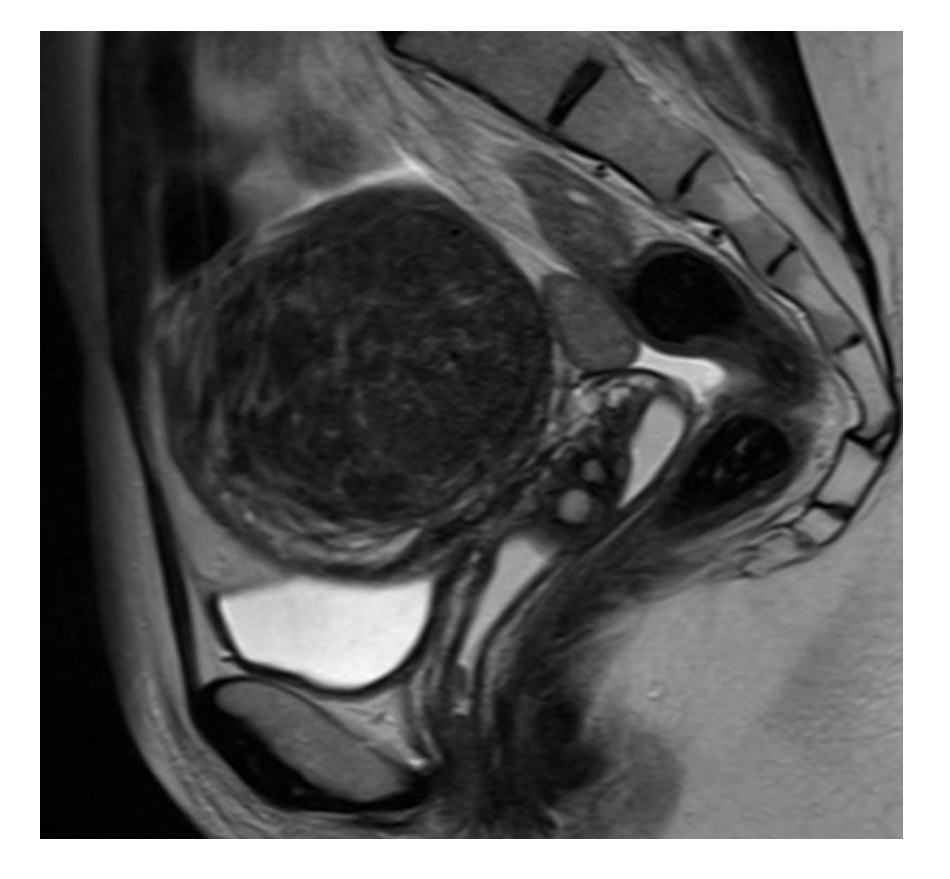
Leiomyom des Uterus

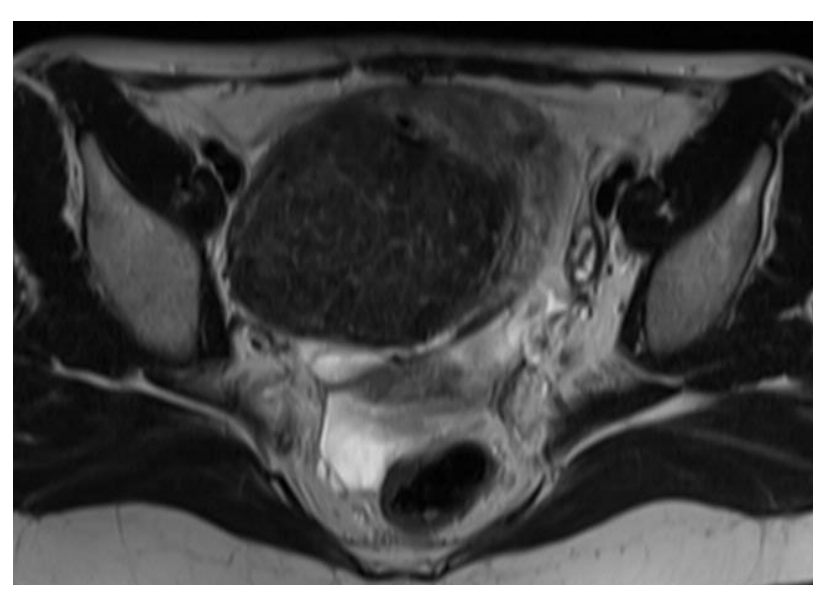






Leiomyom des Uterus

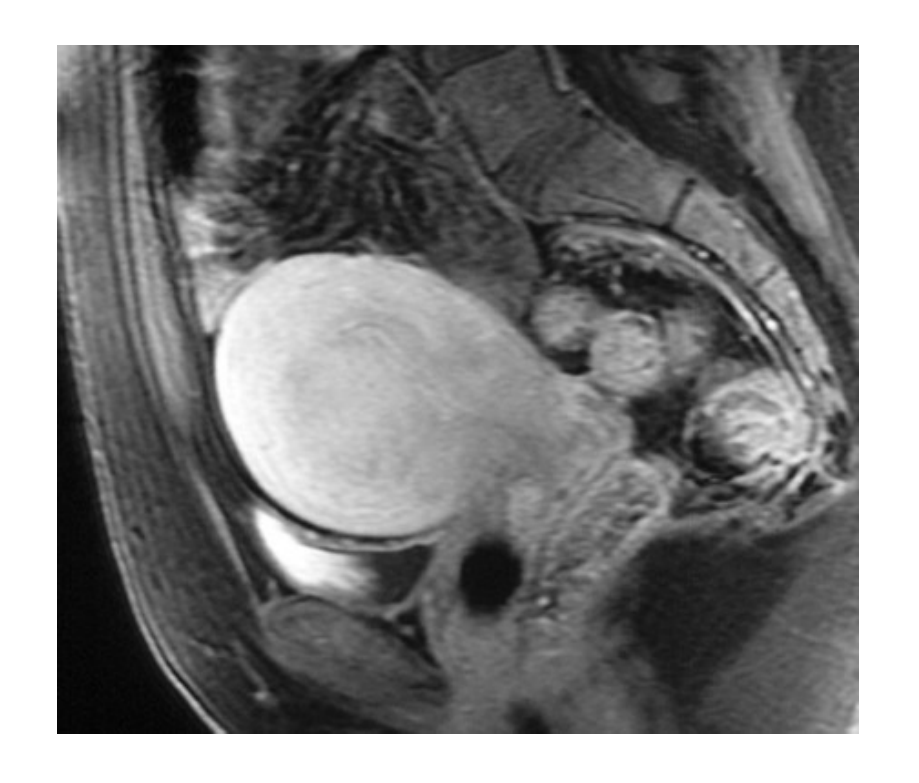




- Degenerativ fibrozytenreich: niedrige Si in T2
- nicht degenerativ: variable Si in T2w



Verlaufskontrolle nach intraarterieller Embolisation





vor Embolisation

nach Embolisation



Endometriumkarzinom

- häufigstes Malignom des weiblichen Genitaltraktes
- 11.300 Neuerkrankungen/Jahr in D
- Altersgipfel 65-85 Jahre (20% prämenopausal)
- Maligne Neoplasie des epithelialen Anteils des Endometriums, Typ I und II Karzinome
- 5-Jahres-Überleben: 75 83%
- Symptom: postmenopausale oder azyklische Blutung
- Operatives Staging obligat , Dx durch fraktionierte Abrasio



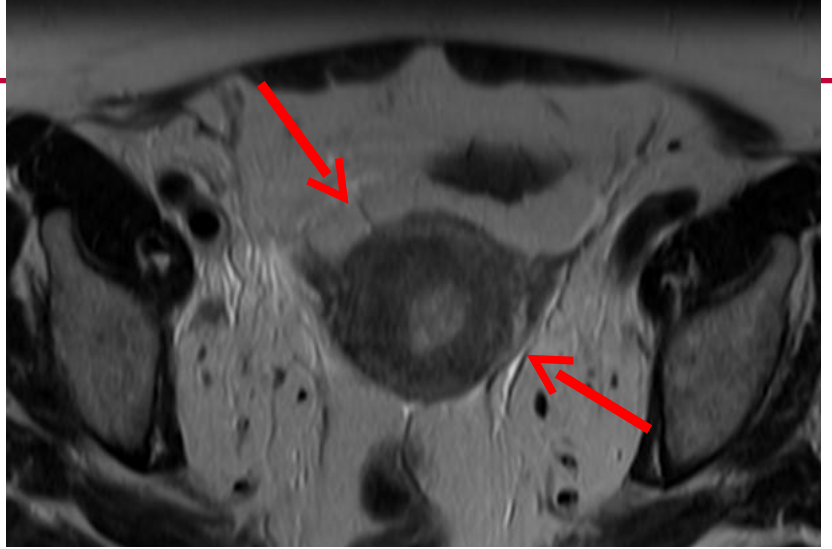
Endometrium-Karzinom - wann MRT?

- ➤ operatives Staging (Hysterektomie, bds. Adnexexstirpation, pelvine und paraaortaler Lymphonodektomie im Stadium I und II)
- ➤ Nutzen CT, MRT, PET im Staging nicht bewiesen
- > MRT zur Therapieplanung einer primären Radiatio bei aufgrund von Komorbiditäten inoperablen Patienten



T3b - FIGO IIIB





- In T2 hyperintens oder inhomogen
- Übergangszone intakt?
- Suspekte Endometriumdicke
 - > 5mm postmenopausal
 - > 15 mm prämenopausal
- KM AnreicherungTumor < Myometrium



Endometrium-Karzinom

Tumordetektion N =53	MRT in [%]	PET-CT in [%]
Sensitivität	91,5	89,4
Spezifität	33,3	50,5
Genauigkeit	84,9	84,9
PPV	91,5	93,3
NPV	33,3	37,5



Klassifikation des Endometrium-Ca

TNM		FIGO
T1	Tumor begrenzt auf Corpus uteri	I
T1a	Begrenzt auf Endometrium oder < 50% Myometrium	IA
T1b	≥ 50% Myometrium	IB
T2	Infiltration der Zervixstroma, keine Ausbreitung jenseits des Uterus	II
Т3	Lokale und/oder regionale Ausbreitung	III
Т3а	Beteiligung Serosa und/oder Adnexe (direkt oder Metastasen)	IIIA
T3b	Beteiligung Vagina oder Parametrien (direkt oder Metastasen)	IIIB
N1	Metastasen in Becken- und/oder paraaortalen LK	IIIC
T4	Infiltration Becken- und /oder Rektum	IVA



Endometrium-Karzinom - Ergebnisse MRT

Infiltration der Zervix

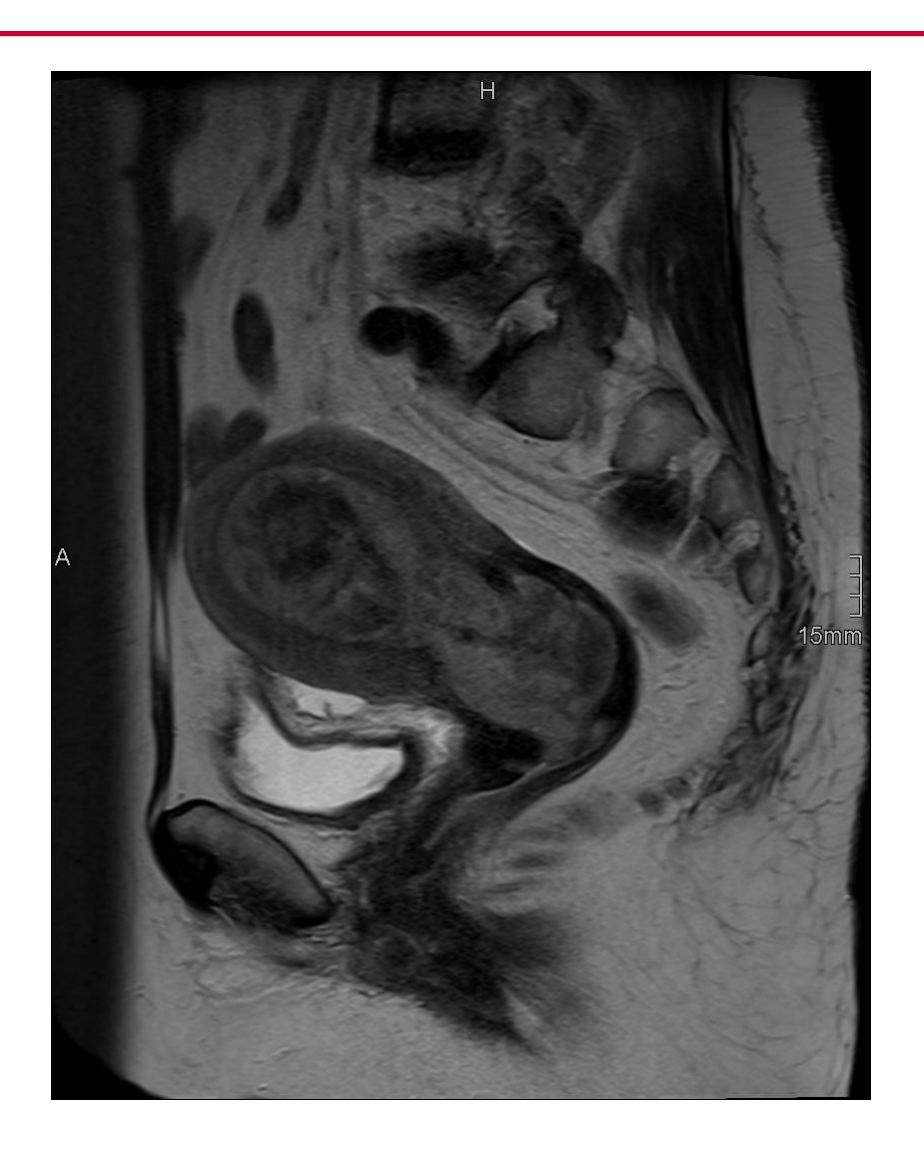
Sensitivität 80%

Spezifität 96%

Treffsicherheit 92%



Tumor der Cervix oder des Endometriums?



Cervix Karzinom



Endometrium-Karzinom - Ergebnisse MRT

Infiltration des Myometriums

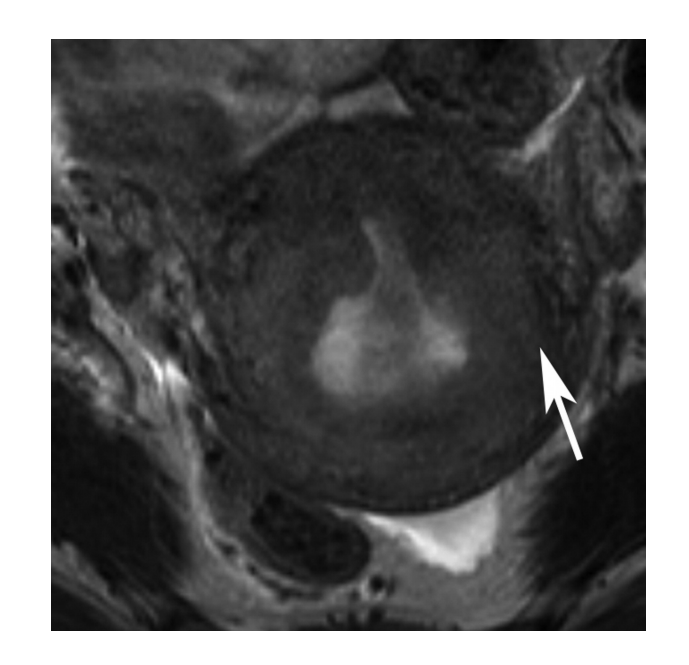
Sensitivität 83%

Spezifität 42%

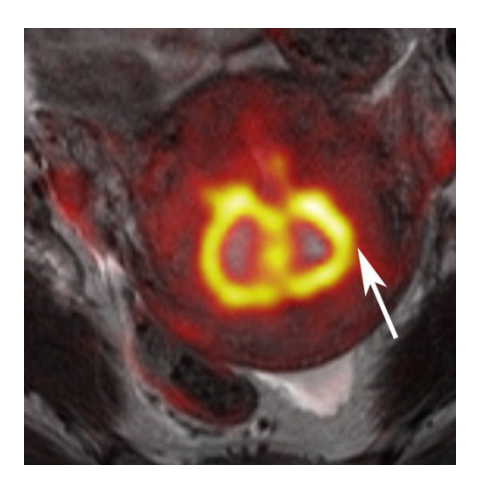


Bedeutung der Diffusionsgewichteten Bildgebung

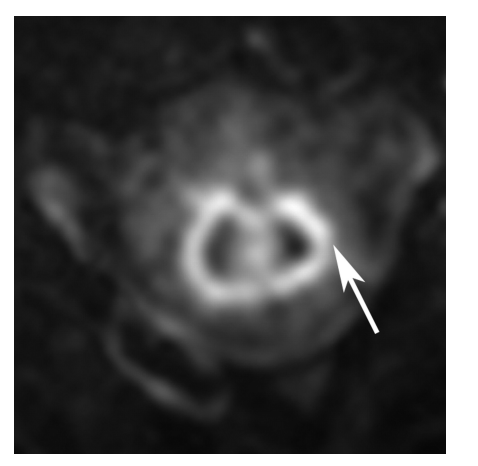
Fusion von T2w + DWI - hohe Korrelation mit myometraler Invasionstiefe bei 3 Tesla



T2 w

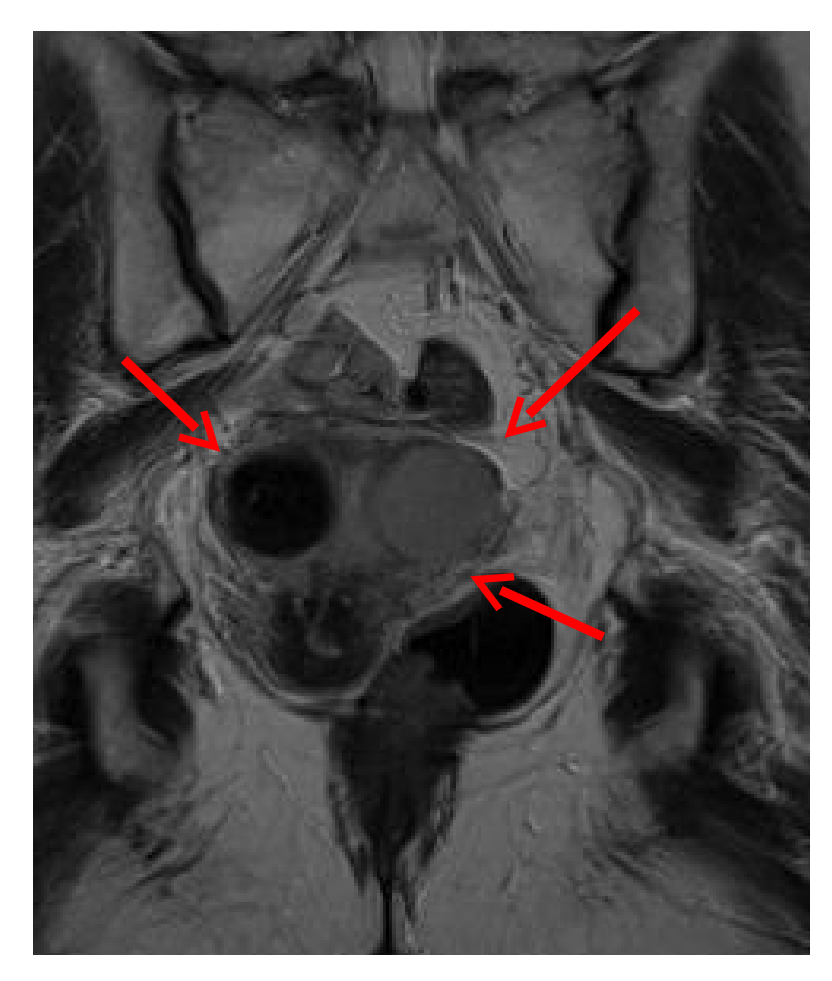


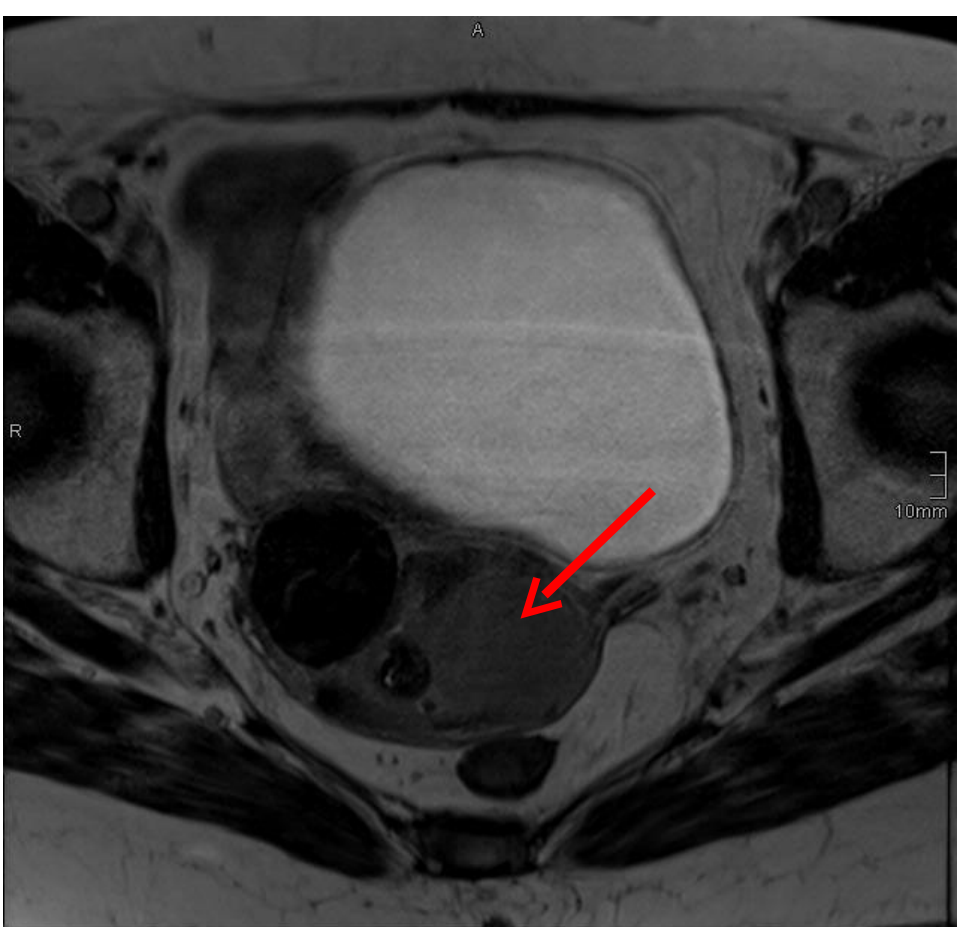
Fusion



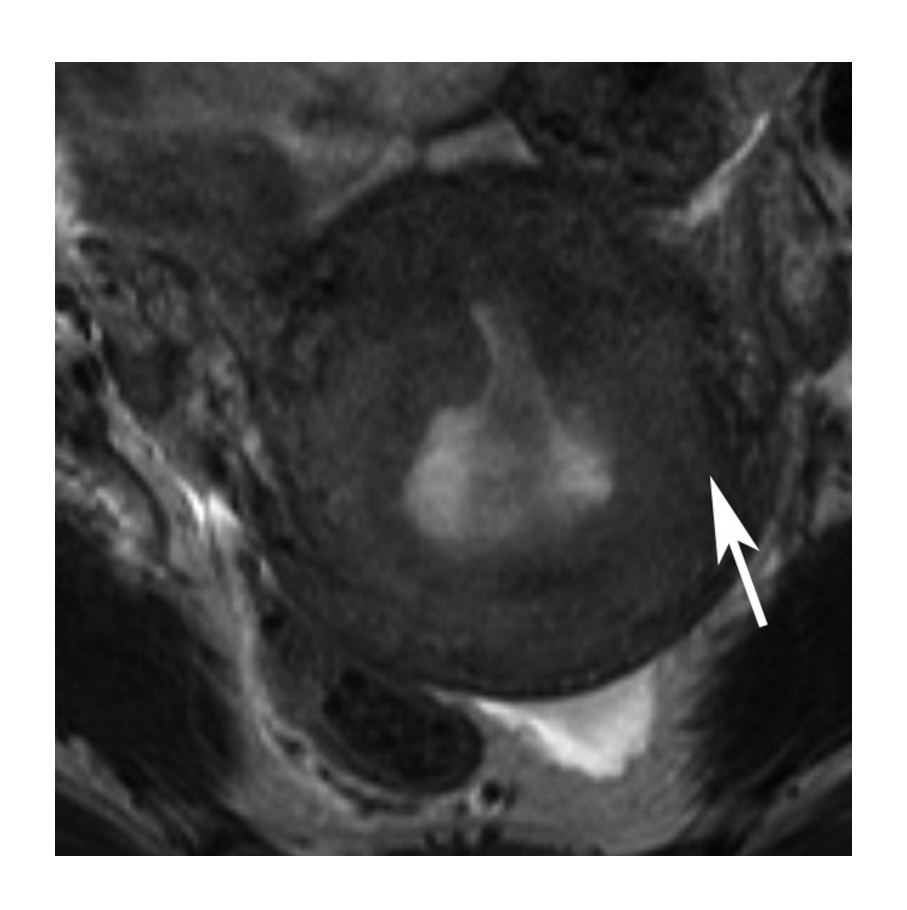
DWI, b-Faktor 1.000



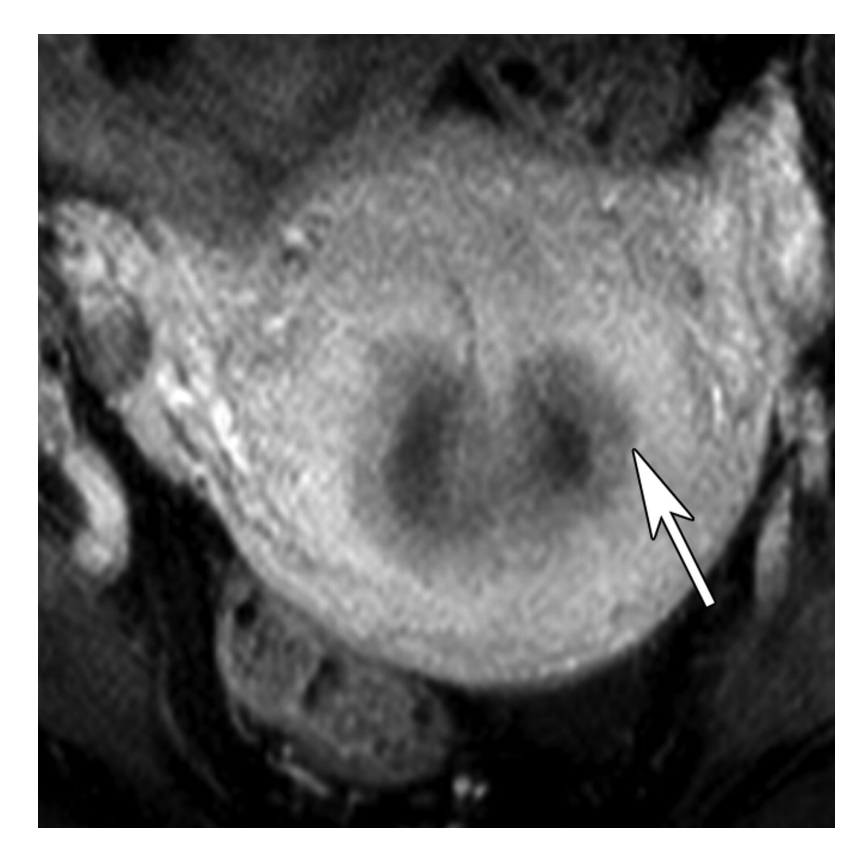








T2 w



Dyn. T1 + KM



Endometrium-Karzinom

LK-Staging	MRT in [%]	PET-CT in [%]
Sensitivität	46,2	69,2 (P=0,25)
Spezifität	87,9	90,3
Genauigkeit	83,9	88,3
PPV	28,6	42,9
NPV	94,0	96,6



Maligne Tumor des Ovars

S2k Leitlinie der AGO, Version 1.0, Mai 2007

"Transvaginale Sonographie hat unter den bildgebenden Methoden den höchsten Stellenwert zur Diagnostik des Ovarialkarzinoms"

"Zum jetzigen Zeitpunkt existiert keine apparative diagnostische Maßnahme, die ein operatives Staging beim Ovarialkarzinom ersetzen und die Operabilität verlässlich einschätzen kann."

S3 Leitlinie geplant für 2012



MRT – Untersuchungstechnik: Ovar

- > T2 w TSE sagittal, transversal, coronal
- > T1 SE transversal
- > T2 GRE coronal mit großem FOV
- > T1 FS+KM transversal, coronal
- DWI transversal



Tumorstadien Ovar

TNM		FIGO
T1	Tumor begrenzt auf Ovarien	I
T1a	Tumor auf ein Ovar begrenzt, Kapsel intakt	IA
T1b	Tumor auf beide Ovarien begrenzt, Kapsel intakt	IB
T1c	Tumor begrenzt auf eine oder beide Ovarien mit Kapseldurchbruch, Tumor an Ovaroberfläche oder malige Zellen im Aszitis	IC
T2a/b	Tumor in einem oder beiden Ovarien und Ausbreitung im Becken, ± maligne Zellen im Aszitis	II A-C
Т3а-с	Tumor in einer oder beiden Ovarien, Peritonealkarzinose außerhalb des Beckens oder LK-Metastasen	IIIA-C
M1	Fernmetastasen	IV



Ovarialtumoren (WHO Klassifikation 2003)

Benigne Raumforderungen

seröses, muzinöses Zytadenom, endometroide Tumoren, Brenner Tumor, Adenomatoidtumor, Zystadenofibrom

> Karzinom

Serös-papilläres Zystadenokarzinom (50%), Endometroides Karzinom* (18%), Muzinöses Zystadenokarzinom (11%), Klarzellkarzinom (7%), plattenepitheliales, gemischte

- Borderline-Tumore
- ► Metastasen (Magen, Intestinaltrakt, Mamma)
- > Teratom, Gonadoblastom, Keimstrangstromatumore



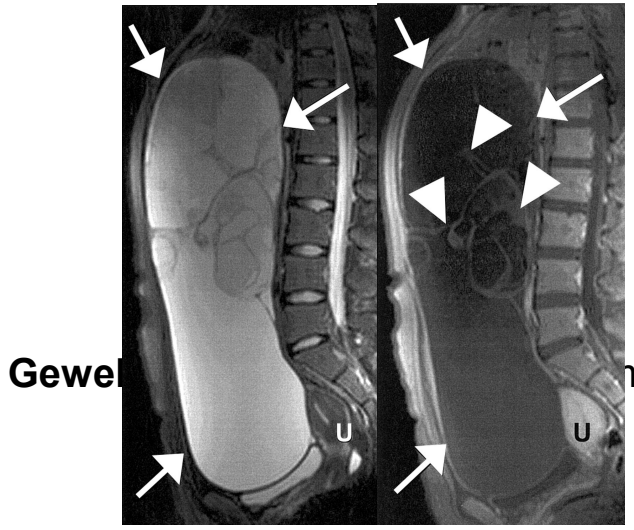
^{*} beinhaltet Adenosarkome, mesodermalen Müller-Mischtumore und Stromasarkome

^{*} Endometroides und Klarzellkarzinom ass. mit Endometriose

Ovarialtumoren

Charakterisierung im MRT

Morphologische Parameter: unilokulär – multilokulär zystisch – gemischt – überw. solide



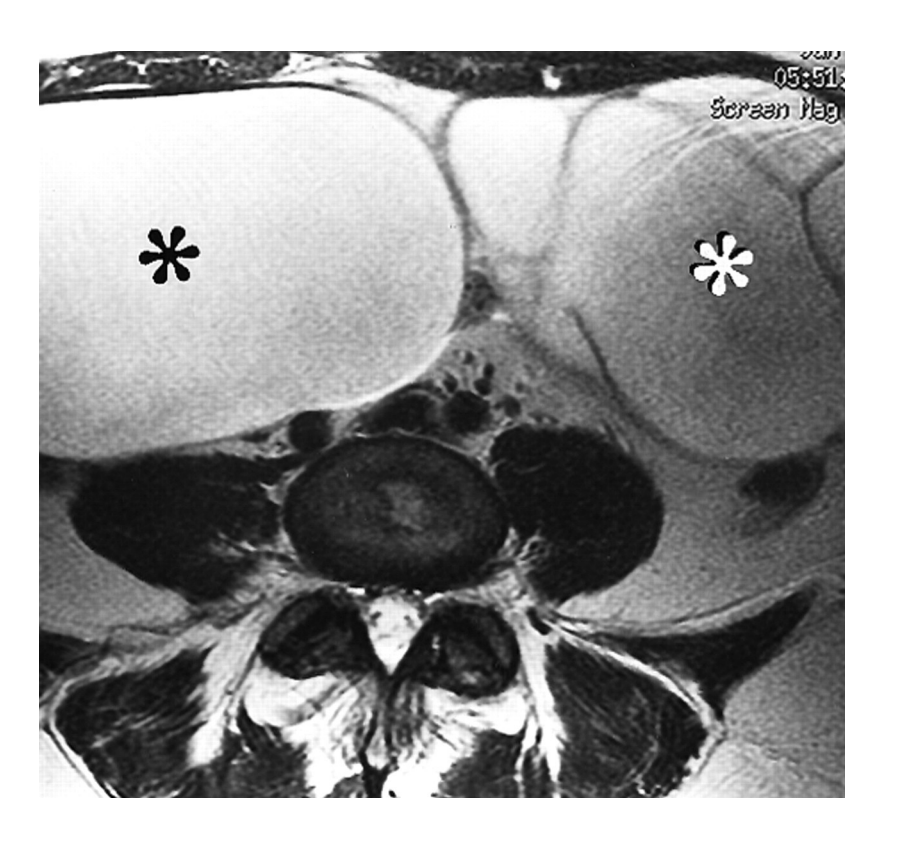
morrhagisch

KM-Anreicherung

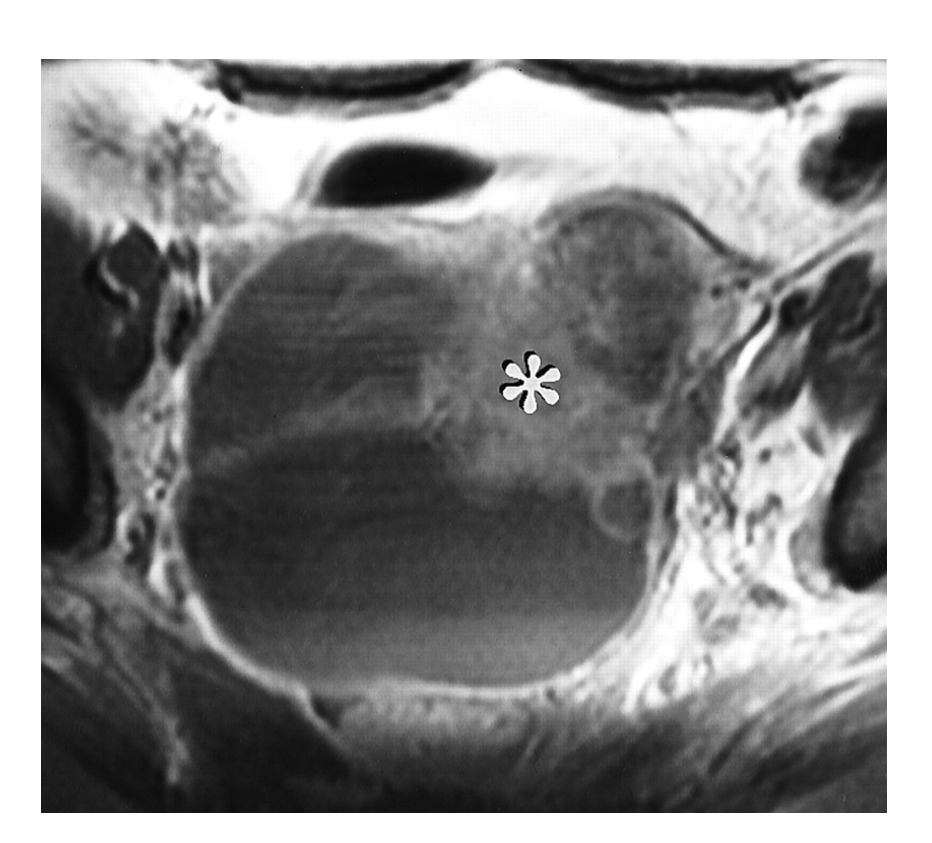
Imaoka I et al. Radiographics 2006;26:1431-1448



Benigne oder maligne?

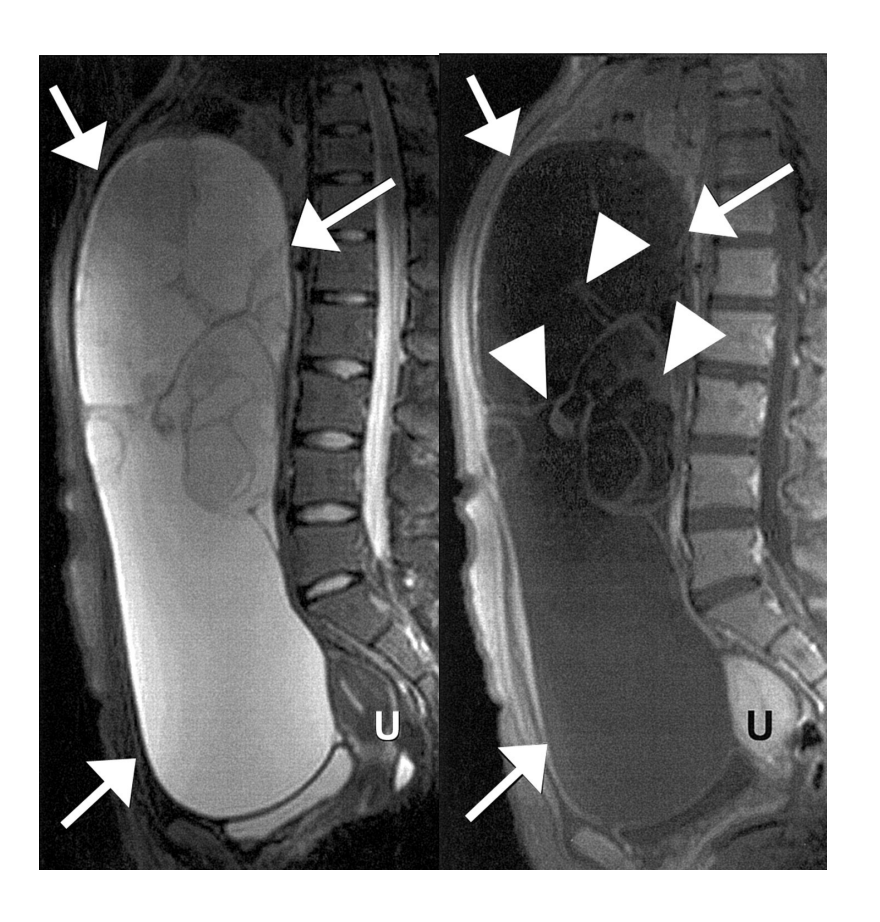


Muzinöses Zystadenom



Endometroides Karzinom





Muzinöses Zystadenom

Muzinöses Zystadenom, Borderlinetyp



Unilokuläre zystische Raumforderungen

- Funktionszyste
- Paraovarielle Zyste
- Hydrosalpinx
- Seröses Zystadenom (auch multilokulär)

Multilokuläre zystische Raumforderungen

- Endometroide Zyste
- Muzinöses Zystadenom
- Muzinöser zystischer Tumor mit Borderline Malignität



Kriterien mit höchster prädiktiver Aussage zur Einschätzung der Malignität:

- Nekrose in einer soliden Läsion
- Vegetationen in zystischer Läsion
- Hohe Bedeutung T1w+KM





Diagnostik der Endometriose

Anamnese

Inspektion

bimanuelle rektovaginale Untersuchung

Labor: CA125 (+), IL-6 (+), IL-8 (+), CRP (+)

Vaginalsonographie

rektale Endosonographie

MRT



Einteilung der Enometriose

Endometriosis genitalis interna

= Adenomyosis uteri

Endometriosis genitalis externa

Tuben, Ovar

Endometriosis extragenitalis

Vagina, Septum rektovaginale, Parametrien, Douglas'scher Raum, Ligamentum sacrouterinum, Ligamentum latum, Harnblase, Excavatio vesico-uterina, Ureter, Rektum, Kolon sigmoideum, Ileum, Appendix, Peritoneum, Beckenwand, Lymphknoten, Bauchwandmuskulatur, Episiotomienarben, Leber, Pleura, Lunge, und Perikard

rASRM Klassifikation ENZIAN Klassifikation



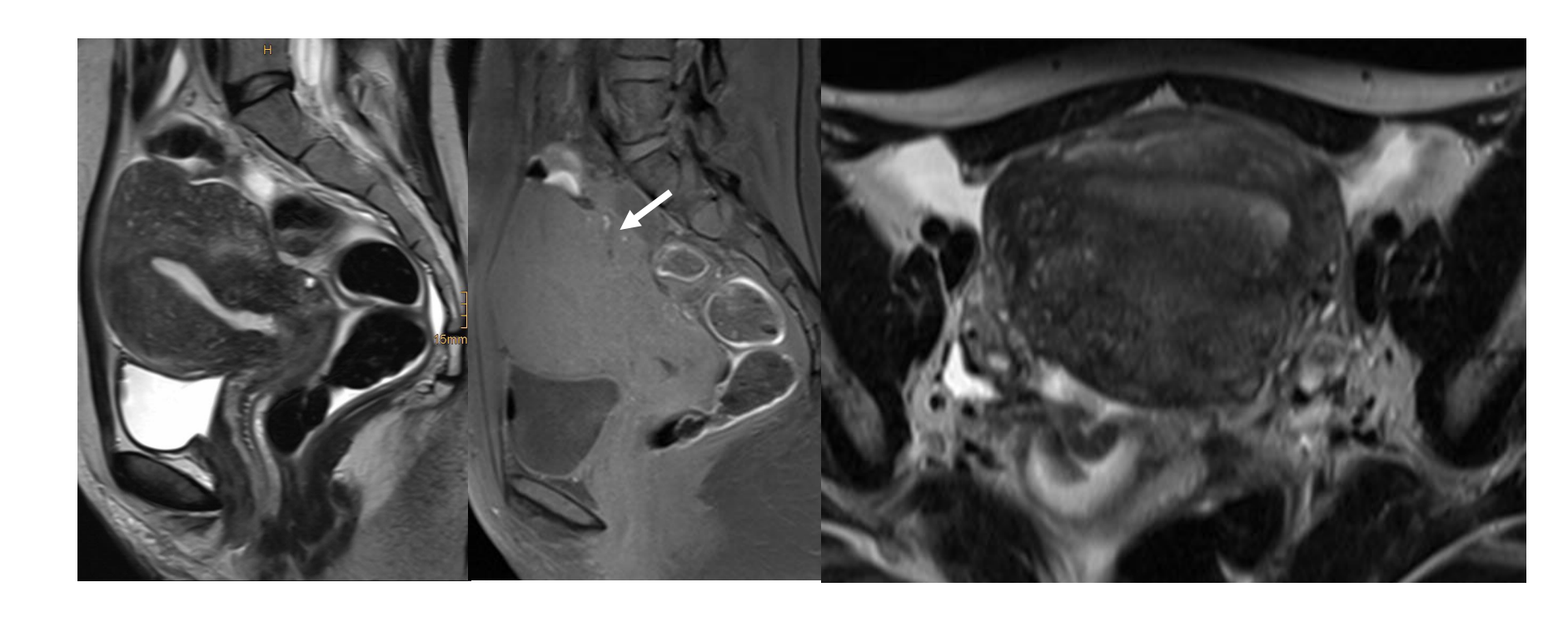
Histopathologie

Adenomyosis uteri

 Heterotopes endometriales Stroma und Drüsen im Myometrium

Hyperplasie der angrenzenden glatten Muskulatur

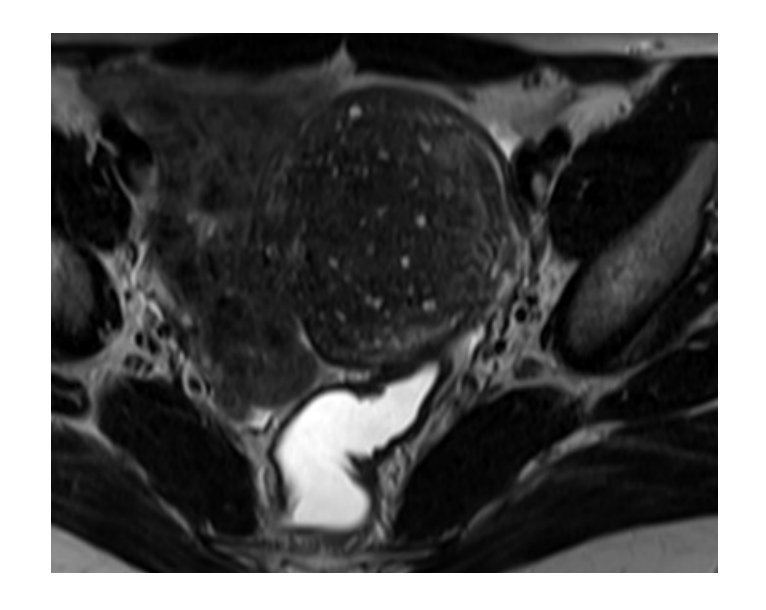




in T1 hyperintense Spots
Vergrößerung des Uterus
Vorderwand-Hinterwand Asymmetrie



MRT – Adenomyosis uteri

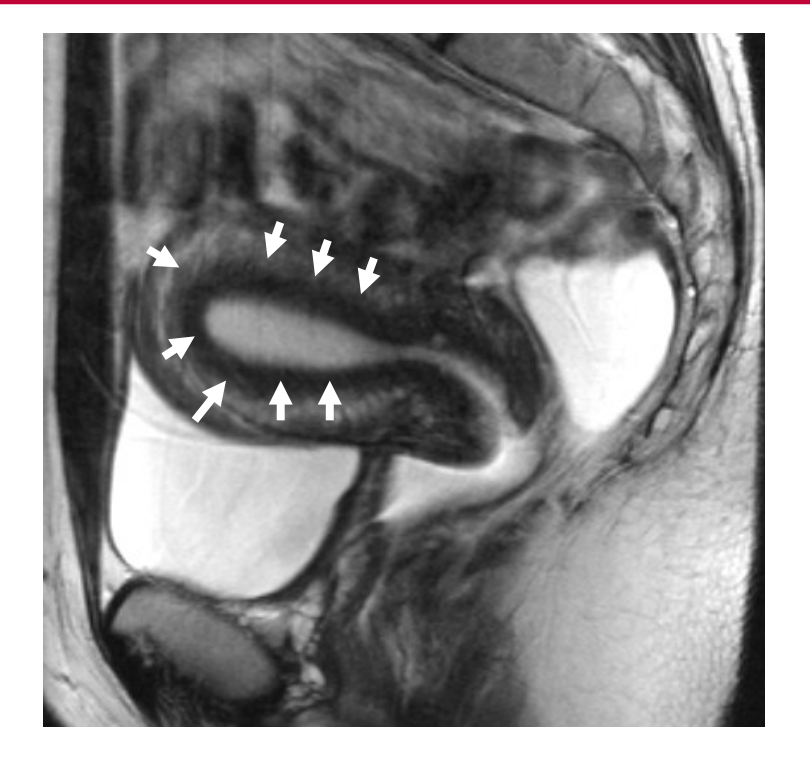




in T2 hyperintense Spots im Myometrium



Kriterien in der MRT für die Adenomyosis uteri



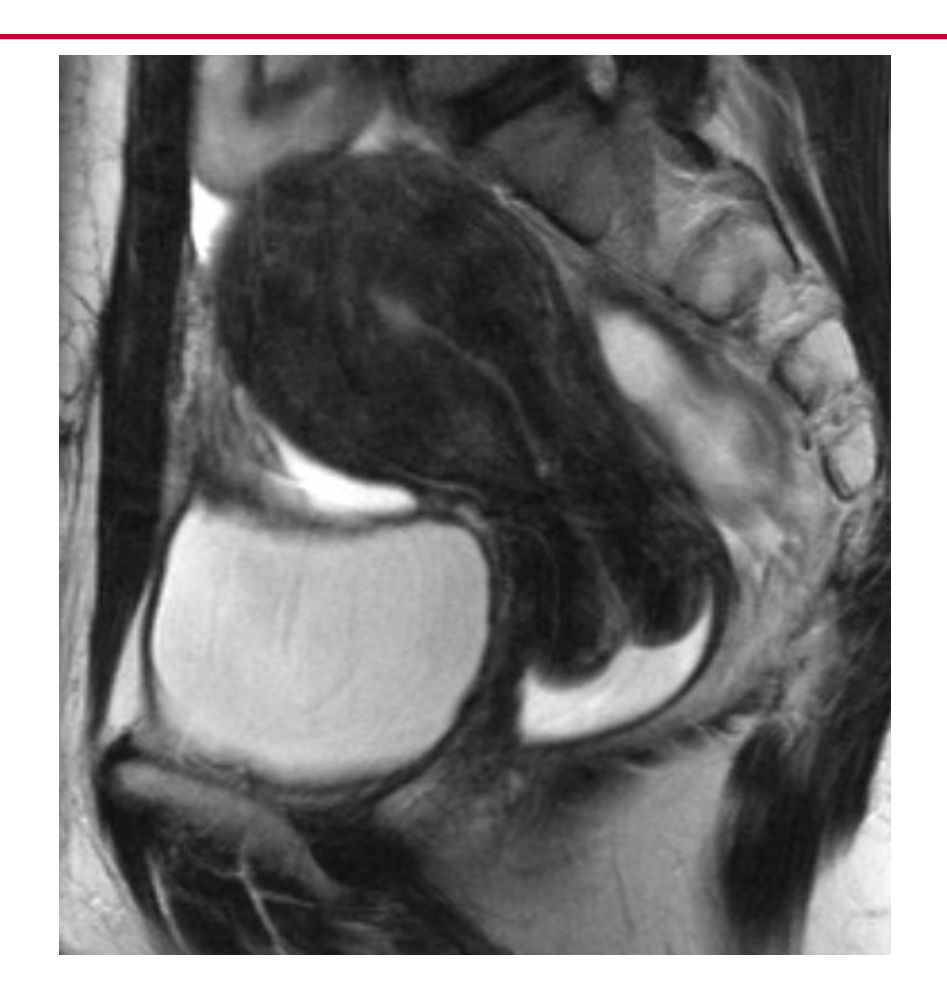
Breite der Junktionalzone

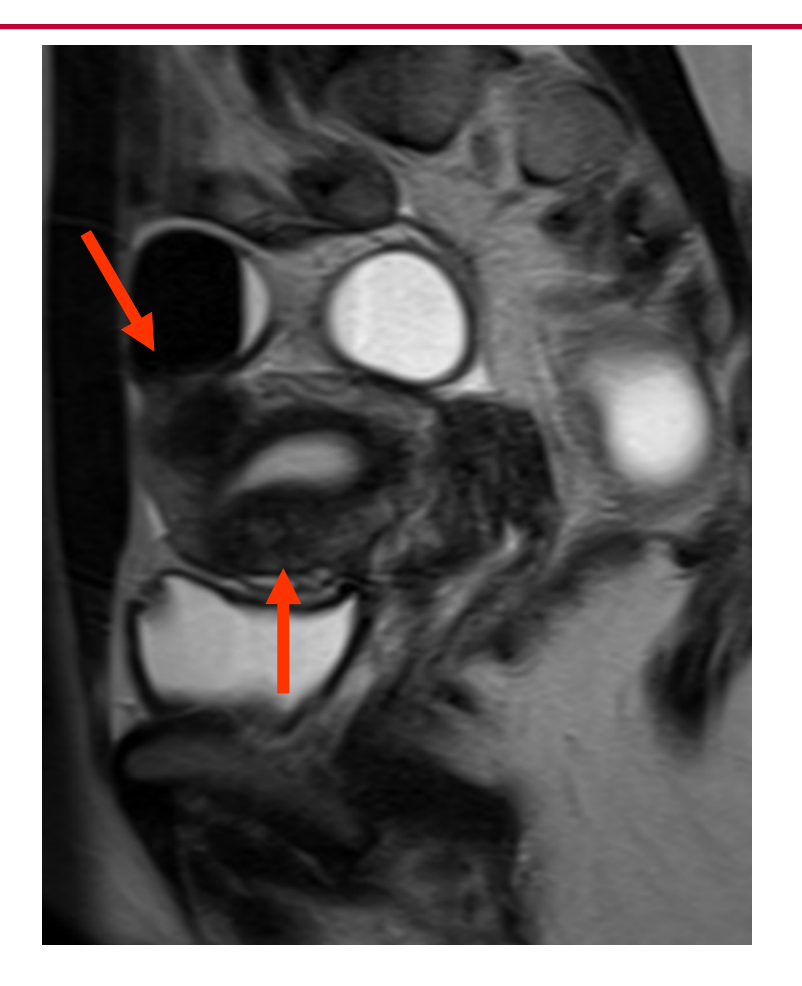
normal $7.7 \pm 3.3 \text{ mm}$

- Adenomyose: 15,0 ± 3,3 mm P<0,0001



Verbreiterung der Junktionalzone





Diffuse Form

Fokale Form

der Adenomyosis uteri

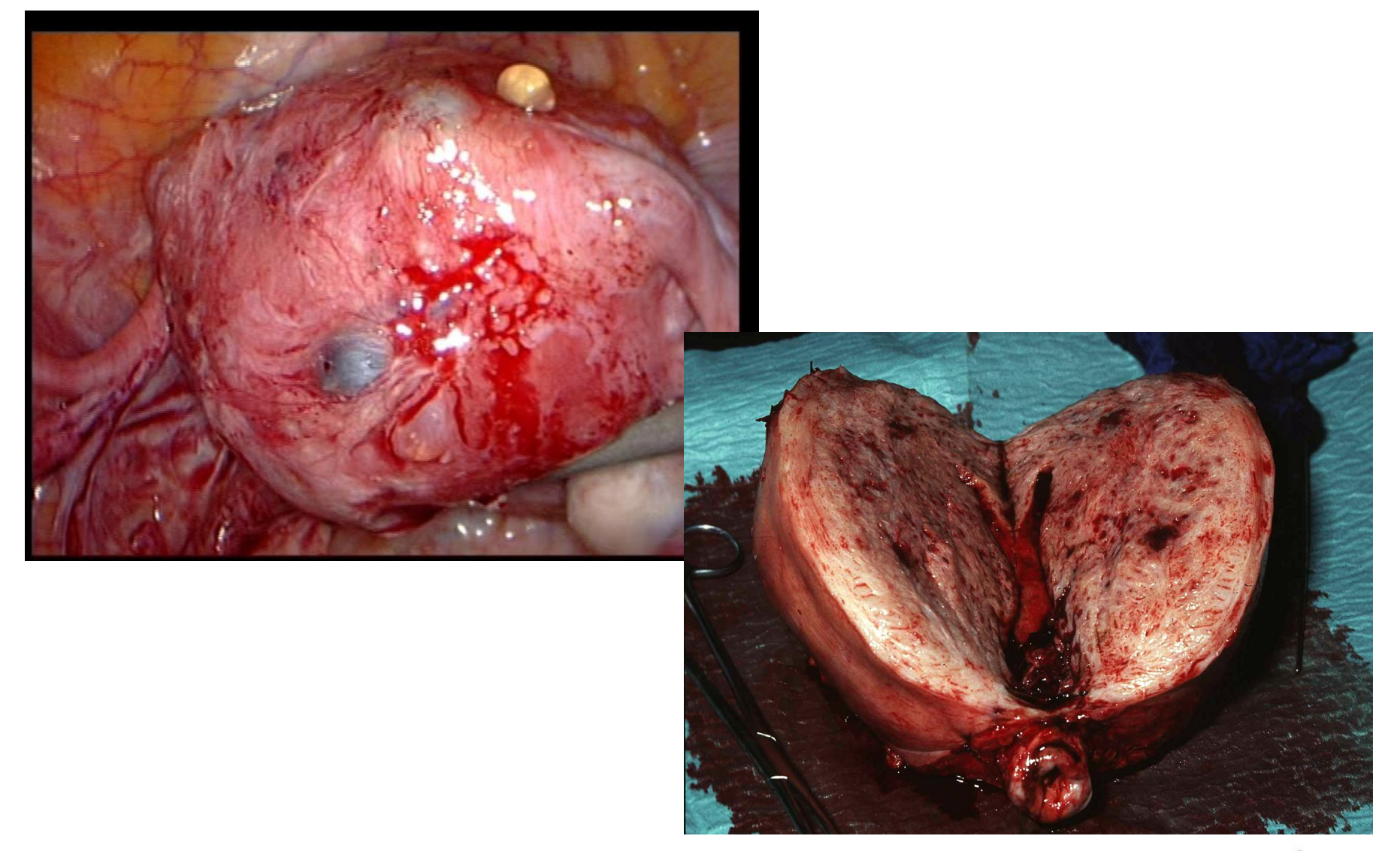


Ursachen für einen diffus vergrößerten Uterus

- Postpartal
- Hormonell (Östrogen, Progesteron, Gonadotropin)
 - _ Endogen zB hormonproduzierender Tumor (zB Granulosazelltumor, Ovar, Kolon)
 - _ Exogen zB Tamoxifen
- •Vaskulär (prominente gonadale, parametrale, myometrale Gefäße, AV-Shunt, pelvines Kongenstionssyndrom)
- Neoplastisch (Leukämie, Lymphom, Metastasen)
- •IUP



Adenomyosis uteri



MRT-Kriterien für die Adenomyosis uteri

- 1. Raumforderung im Myometrium
- unscharf begrenzt, schlecht abgrenzbar, niedrige Signalintensität in T2
- 2. Fokale oder diffuse Verbreiterung der Junktionalzone >11-12 mm *
- 3. Signalhyperintense Spots im Myometrium
- 4. Signalhyperintense Streifen im Myometrium
- 5. Pseudoerweiterung des Endometriums
- 6. Relatives Fehlen eines raumfordernden Effektes
- 7. Unschärfe des Übergangs Endo-Myometrium

Höchste Treffsicherheit (87,5 %) bei Kombination aus 1. bis 3.

Reinhold Radiology;1996;199:151
Bazot M Human Reproduction 2001;16:2427
Tamai Radiographics 2005

Adenomyosis uteri

	US	TVUS	MRT
Sensitivität	32 - 63 %	50 - 87 %	86 - 100 %
Spezifität	95 - 97 %	50 - 96 %	67 - 100 %
Treffsicherheit		66 - 86 %	85 - 90 %

US: transabdomineller Ultraschall

TVUS: transvaginaler Ultraschall

Atri, Radiology 2000; 215:783; Reinhold, Hum Reprod 1998;4:337; Fedele, Fertil Steril 1992;58:94; Reinhold, Radiology 1995;197:609; Brosens,Br J Obstet Gynecol 1995:471; Levgur, J Reprod Med 2007:177; Bazot M Hum Reprod 2001;16:2427 Siedler D J Ultrasound Med 1987;6:345; Bazot M Hum Reprod 2001;16:2427 Ascher Radiology 1994;190:803; Reinhold Radiology 1996;199:151



Vergleich MRT – transvaginaler Ultraschall

	MRT	TVUS	Р
Sensitivität	86 %	89 %	N.S.
Spezifität	86 %	89 %	N.S.
PPV	65 %	71 %	N.S.
NPV	95 %	96 %	N.S.

Goldstandard: Histopathologie

Prävalenz: 24%, n=119



Vergleich MRT – transvaginaler Ultraschall

	MRT	TVUS	Р	
Sensitivität	70 %	68 %	N.S.	
Spezifität	86 %	65 %	0,03	

 Höchste Sensitivität (89 %) bei Kombination aus TVUS und MRT (aber auch geringste Spezifität – 60%)

Goldstandard: Histopathologie

Prävalenz: 21%, n=106



Differentialdiagnosen

- Leiomyom
- Adenomatoider Tumor des Uterus
- Metastase
- Endometriumkarzinom
- Endometriales Stromasarkom



Vergleich MRT – transvaginaler Ultraschall

	MRT		TVUS		
	o. Myom	m. Myom	o. Myom	m. Myom	
Sensitivität	82 %	67 %	78 %	33 %	
Spezifität	100 %	87 %	98 %	97 %	

Goldstandard: Histopathologie

Prävalenz: 33%, n=120

Vorteile für MRT

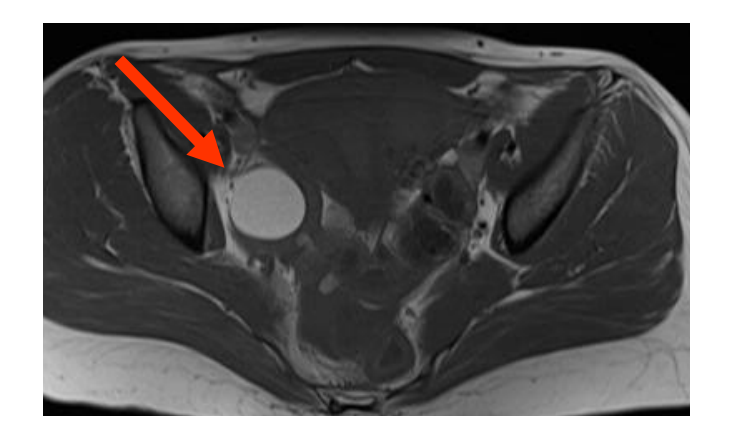


Endometriose des Ovars

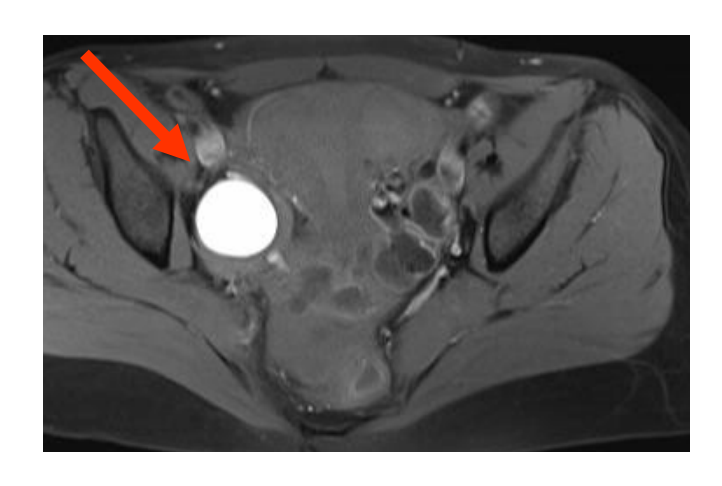


T2 w TSE

Häufigkeit: 20 - 50%

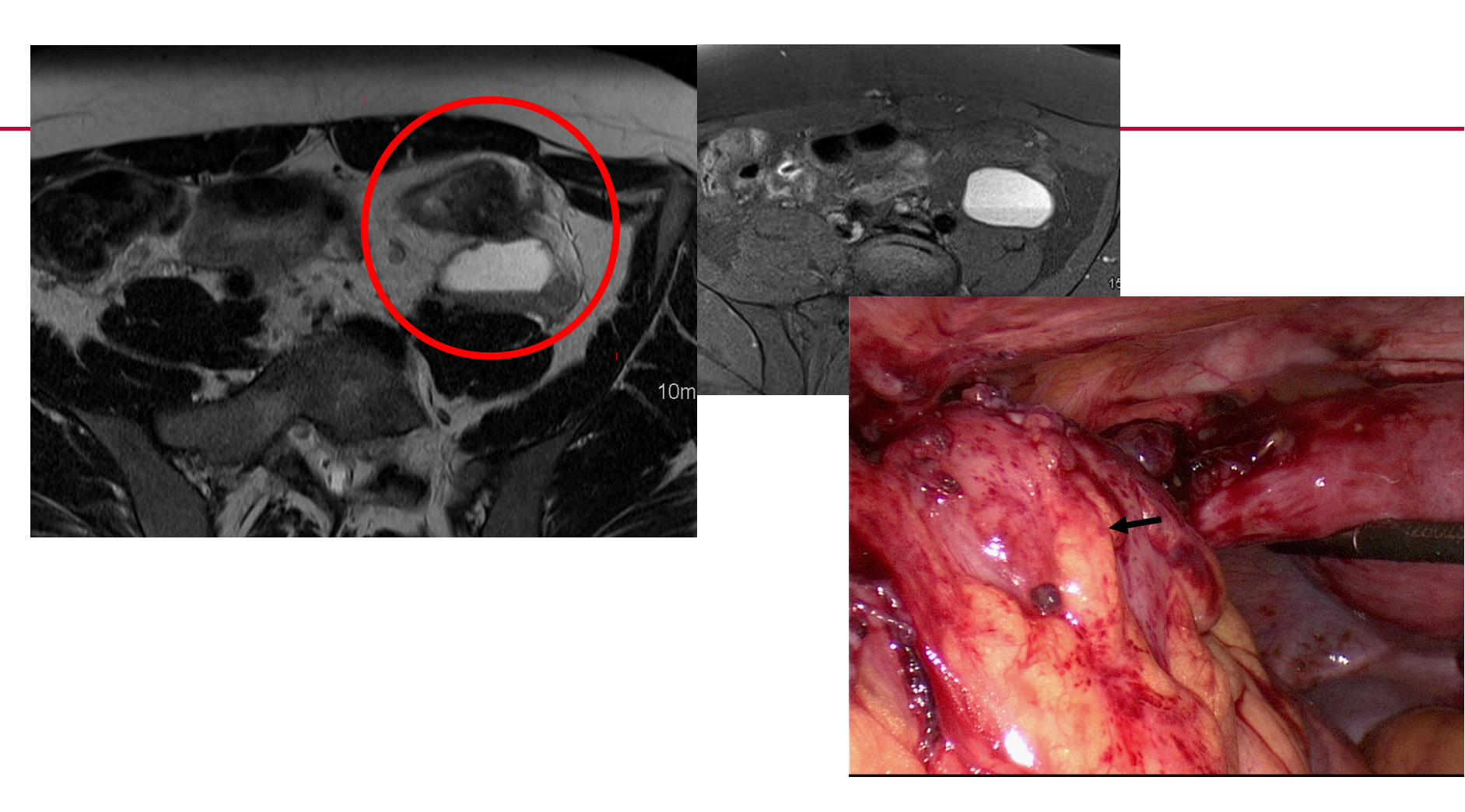


T1 w SE



T1 w SE mit FS

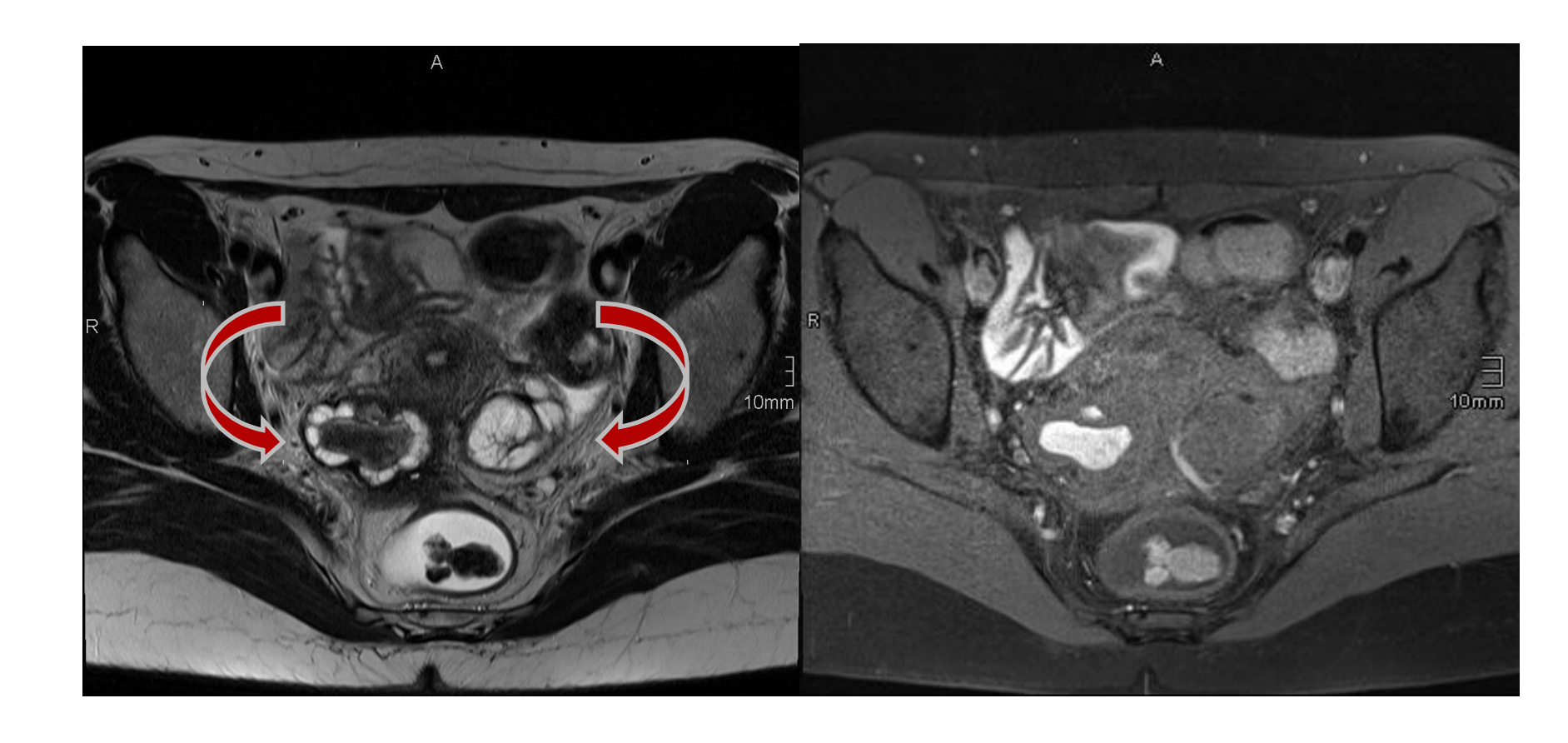




- 26-jährige Patientin mit sekundärer Dysmenorrhoe, Dyspareunie und Dysurie
- Endometriom linkes Ovar
- Beteiligung des Kolon sigmoideum



Kissing Ovaries



Beteiligung der Ureteren? Harnstau?



Ergebnisse MRT - Ovar

Sensitivität / Spezifität ca. 95 %

Eigene Studie* Sensitivität 86%

Spezifität 74%

PPV 78%

NPV 83%

^{*} N=152 Pt. mit V.a. Endometriose, keine Vor-OP, Vergleich mit Laparoskopie mit histologischer Sicherung

DWI mit ADC

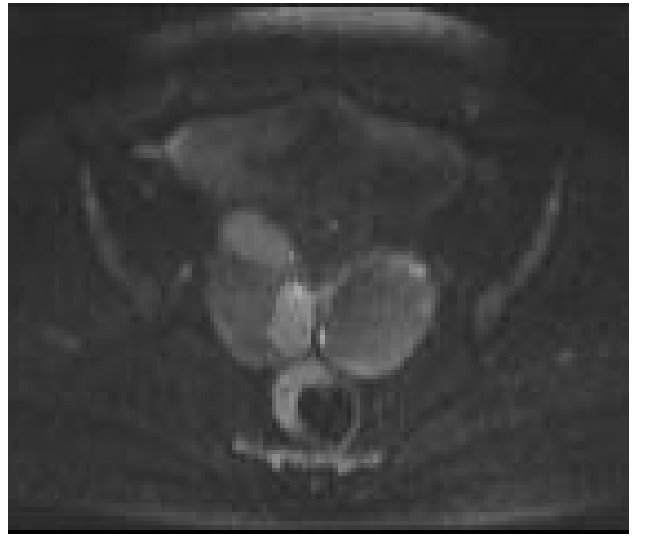
T2 w

DWI

R 10mm



T1 w

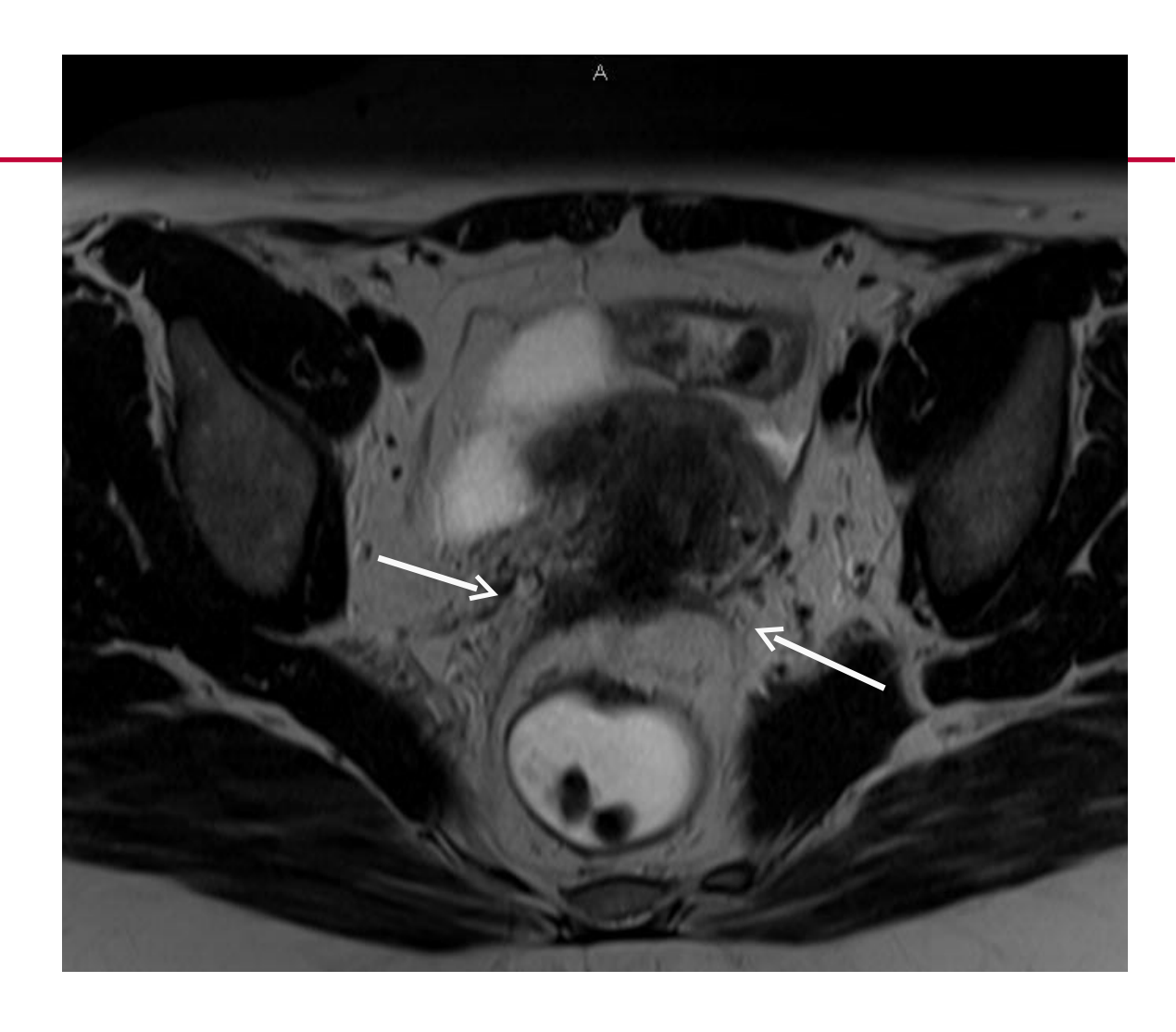




ADC



Lig. sacrouterinum



Häufigkeit: 46 – 80%

MRT: in T2 signalarme Verdickung, Irregularität, Asymmetrie



Ergebnisse MRT - Lig. sacrouterinum

Sensitivität 76 – 85 % (TVUS 71-78 %) Spezifität 83 – 96 % (TVUS 95 %)

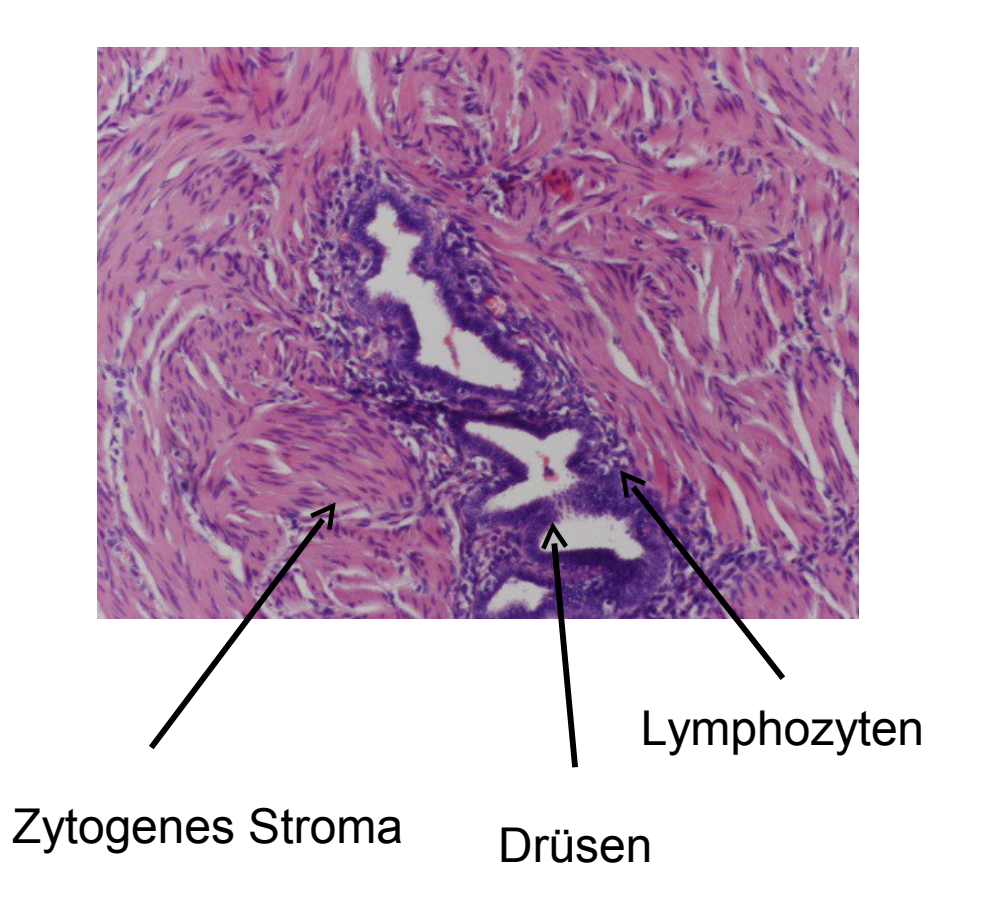
Eigene Studie Sensitivität 78% Spezifität 68%

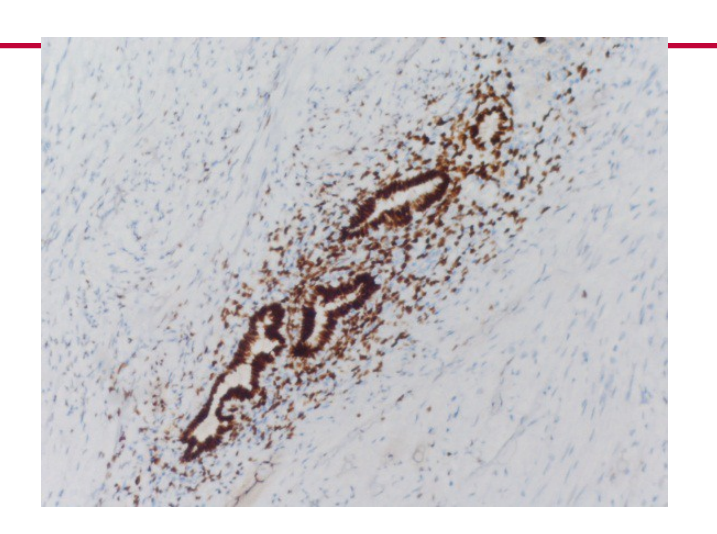
PPV 78%

NPV 68%

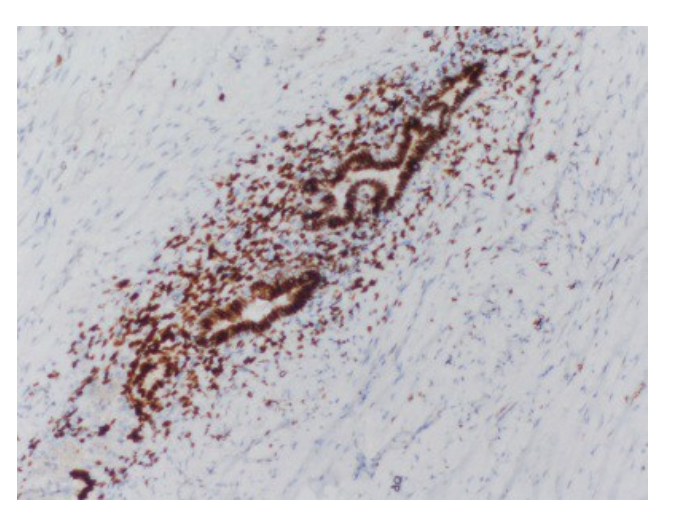


Histopathologie





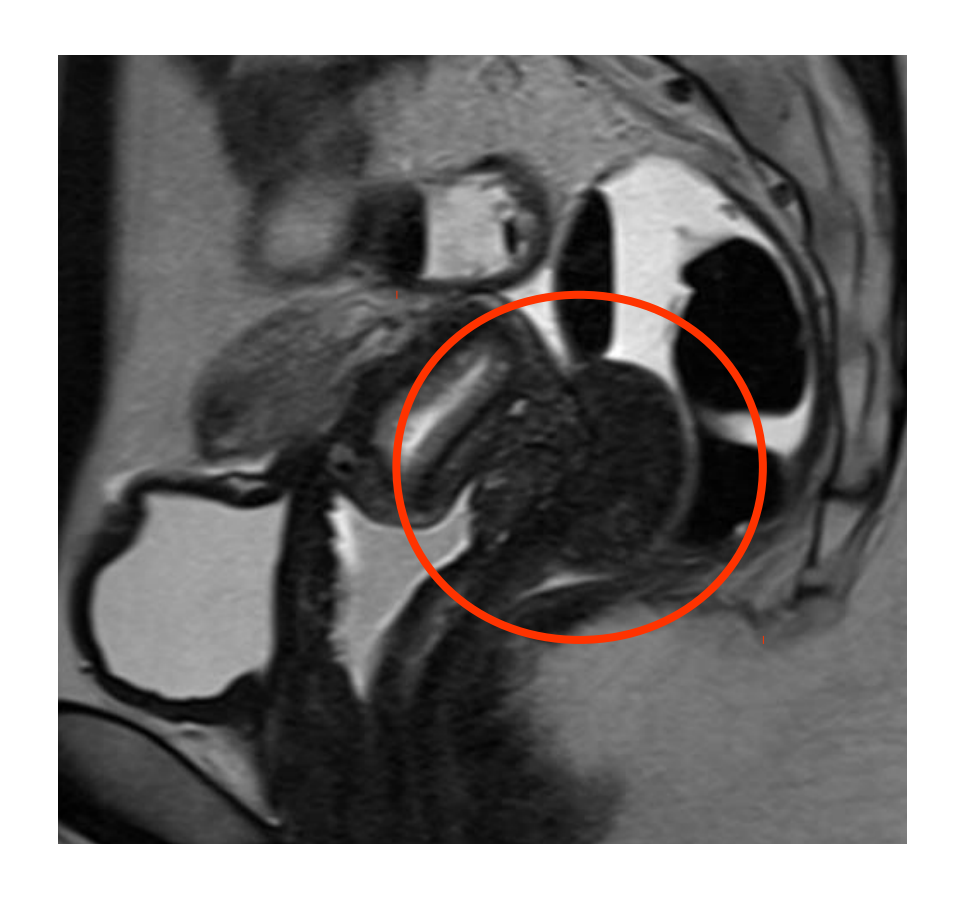
Progesteronrezeptor +



Östrogenrezeptor +



Endometriose - Vagina, Septum rektovaginale







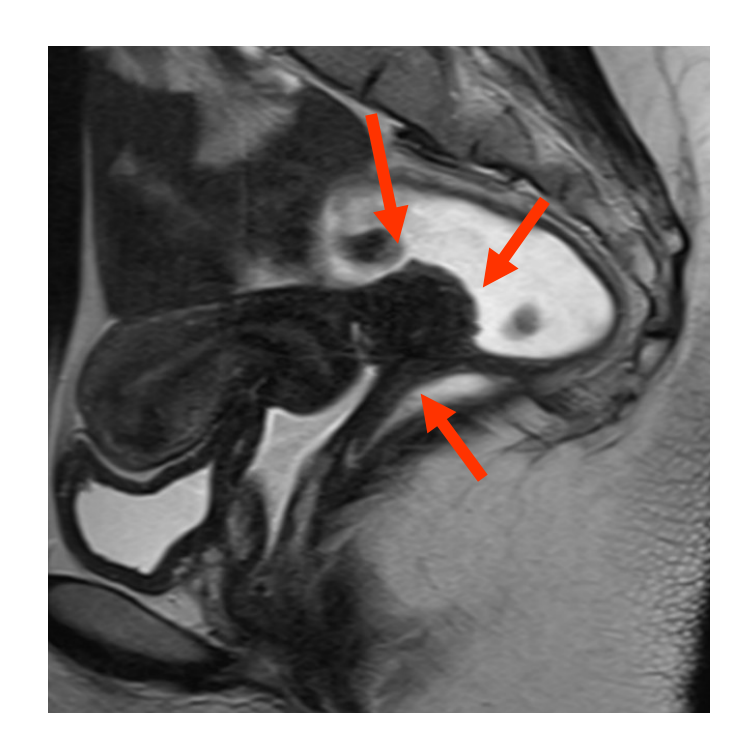
Ergebnisse MRT - Vagina, Septum rektovaginale

Sensitivität 76 - 82 % (TVUS 29-47 %) Spezifität 70 - 98 % (TVUS 95 %)

Eigene Studie Sensitivität 81%
Spezifität 82%
PPV 79%
NPV 84%

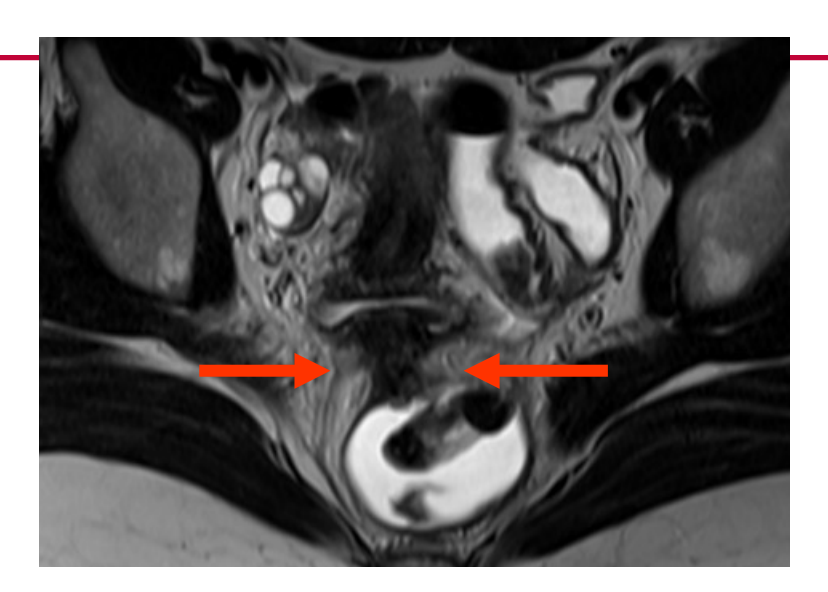


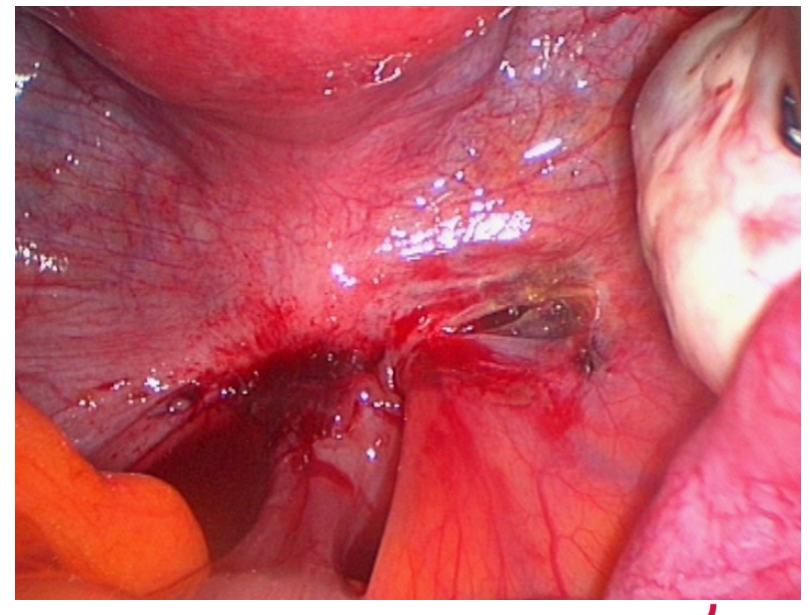
Endometriose des Intenstinaltraktes



Beteiligung des Rektums in 12% (selten Sigma, Appendix, Dünndarm)

MRT: in T2 signalarme RF

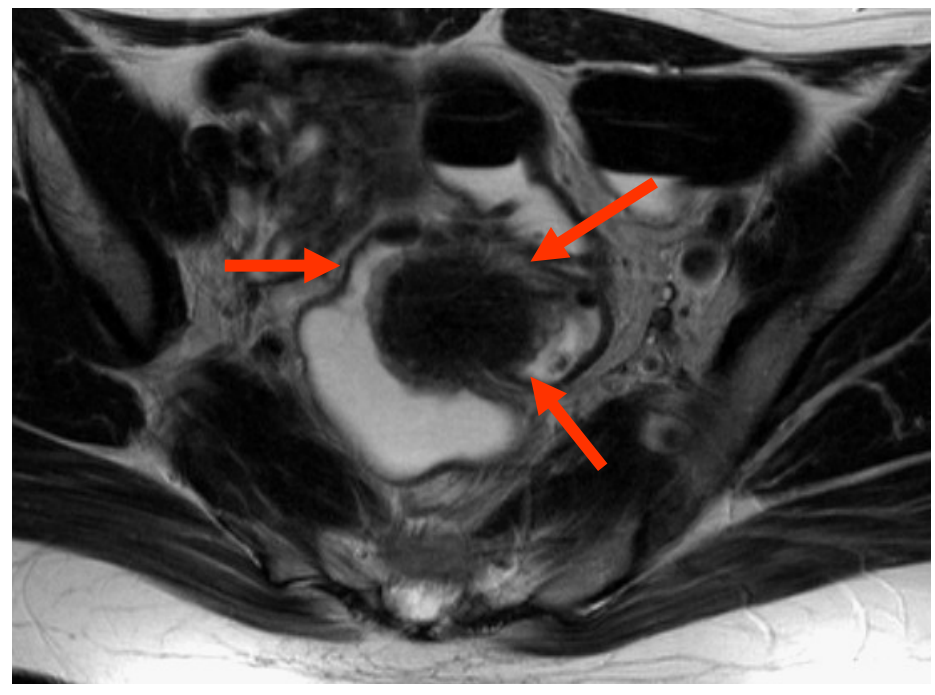




Vivantes

Intestinale Endometriose







Ergebnisse MRT - Rektum

Sensitivität 88 % (TVUS 87-94 %) Spezifität 95% (TVUS 97 %)

Eigene Studie* Sensitivität 80%

Spezifität 77%

PPV 80%

NPV 77%



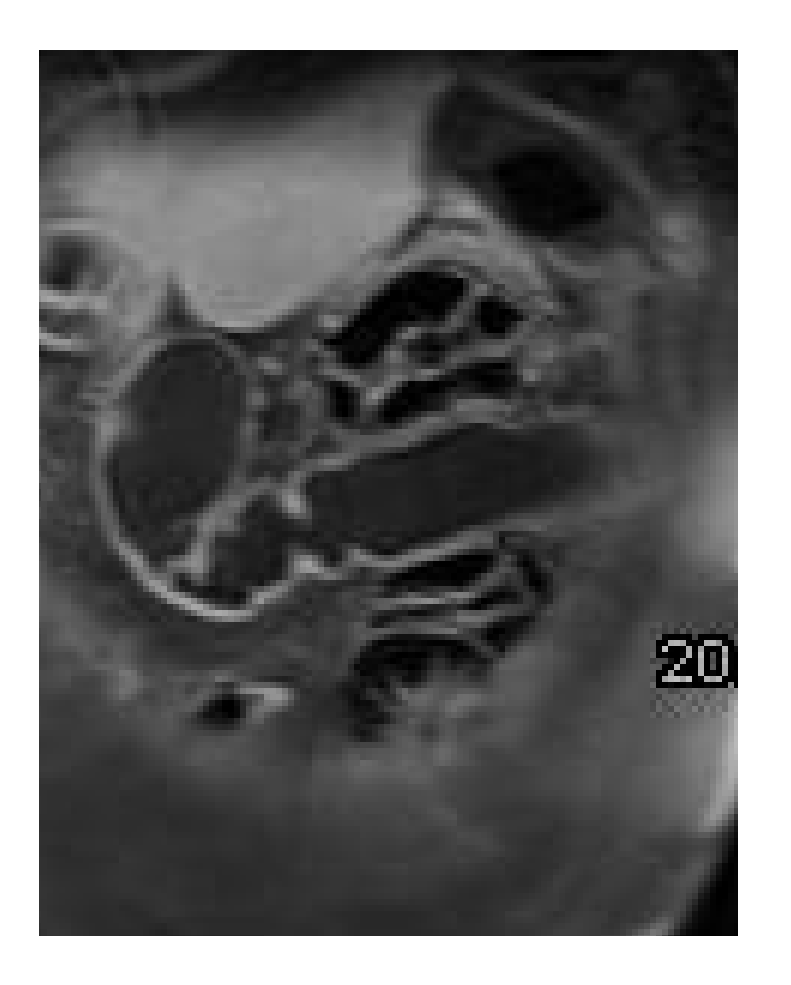
Vergleich KE – MRT präoperative Diagnostik der intestinalen Endometriose

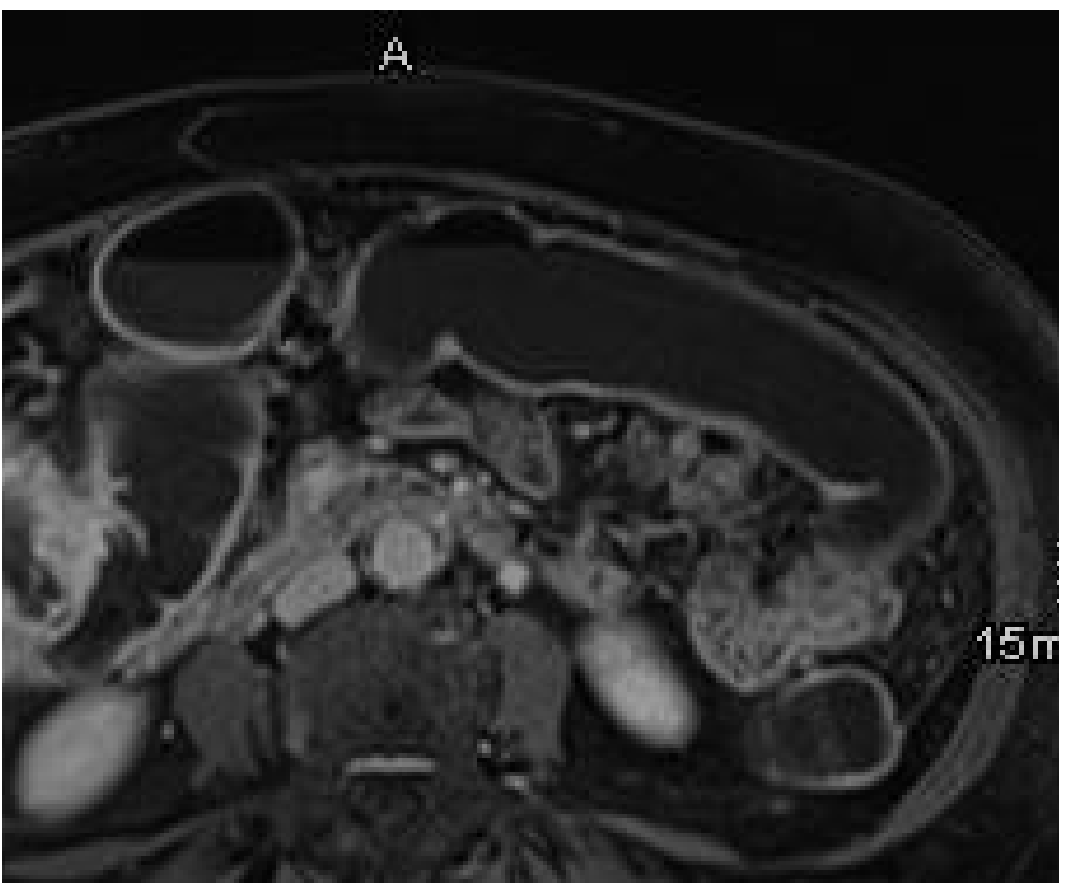
- 83 Patienten
- 65 operiert, davon in 77 % intestinale Endometriose,
- in 18 % 2 Läsionen

	Sens	Spez	PPV	NPV	Treffsicherheit
KE	84.7 %	93.7 %	98.0%	62.5 %	86.6 %
MRT	71.1 %	83.3 %	93.3 %	46.8 %	74.6%



MR-Kolonographie





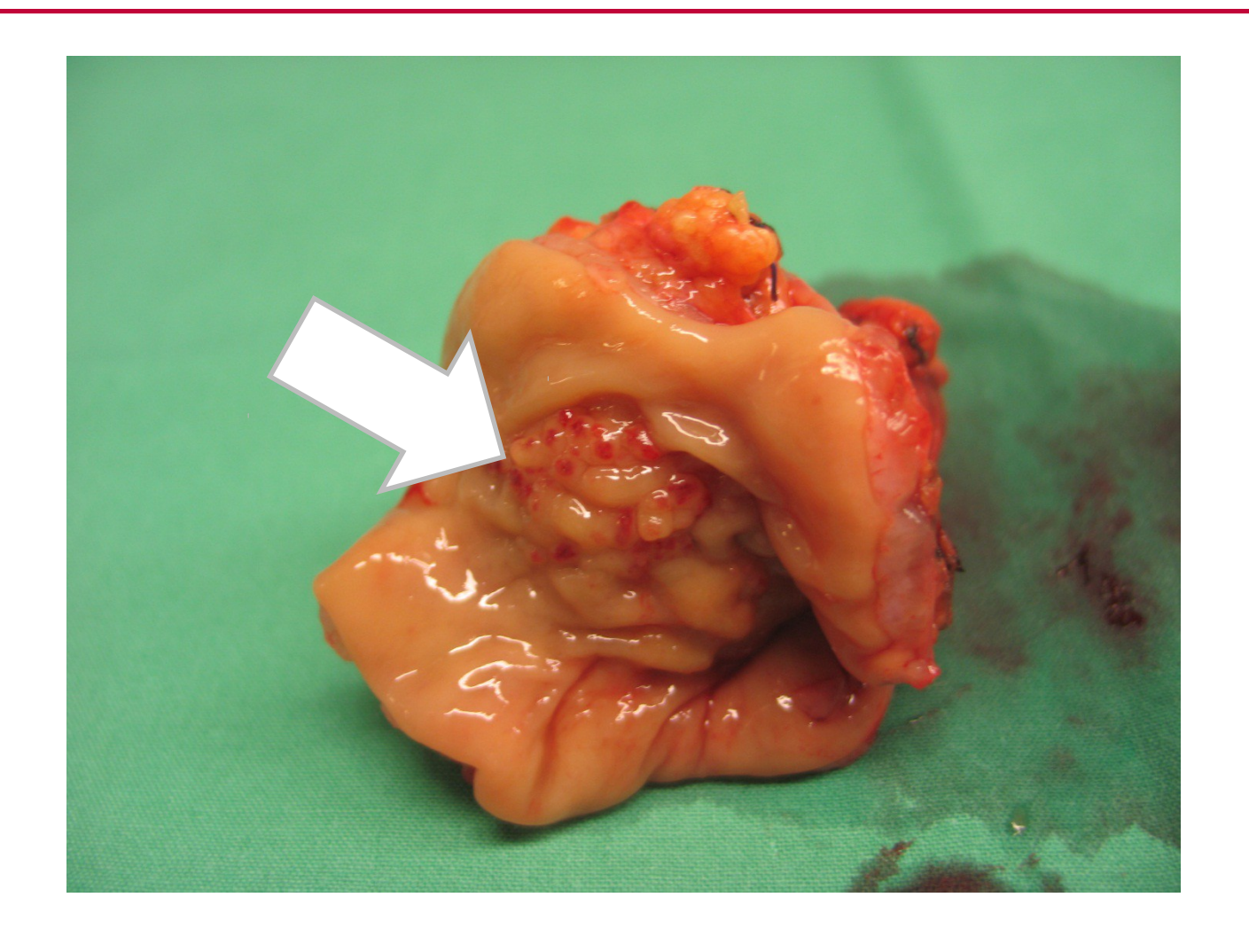


Bedeutung der MR Kolonographie

104 Patienten	T2w	MR Kolonographie (T1w KM)
Sens	76	95
Spez	96	97
PPV	84	91
NPV	93	99
Treffsicherheit	91	97



Infiltration der Rektumwand von außen nach innen





Infiltration der Darmwand von außen – Infiltrationstiefe?

Transvaginale Sonographie¹

	Sens	Spez	PPV	NPV
Serosa/Muskularis	98 %;	99%;	98%;	99%
Submukosa/Mukosa	62%;	96%;	53%;	97%

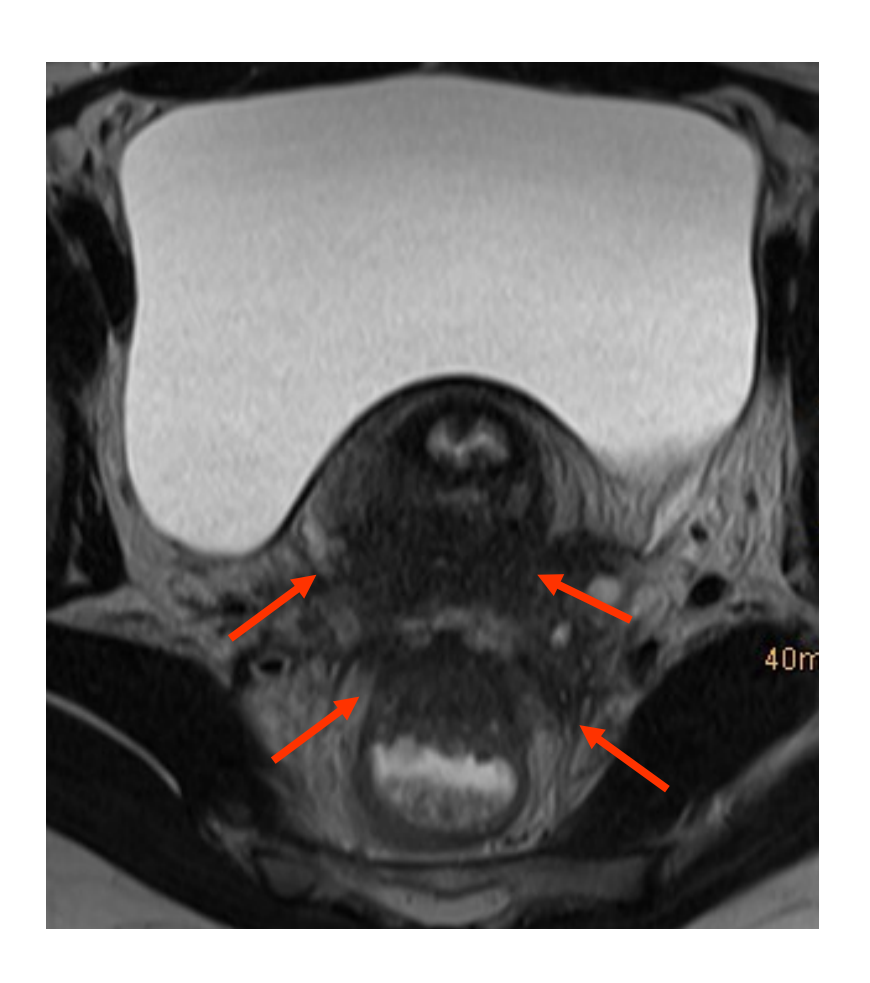
3 T MRT²

41 Patienten, davon 27 mit tief infiltrierender Endometriose Spearman correlation coefficient : 0.93



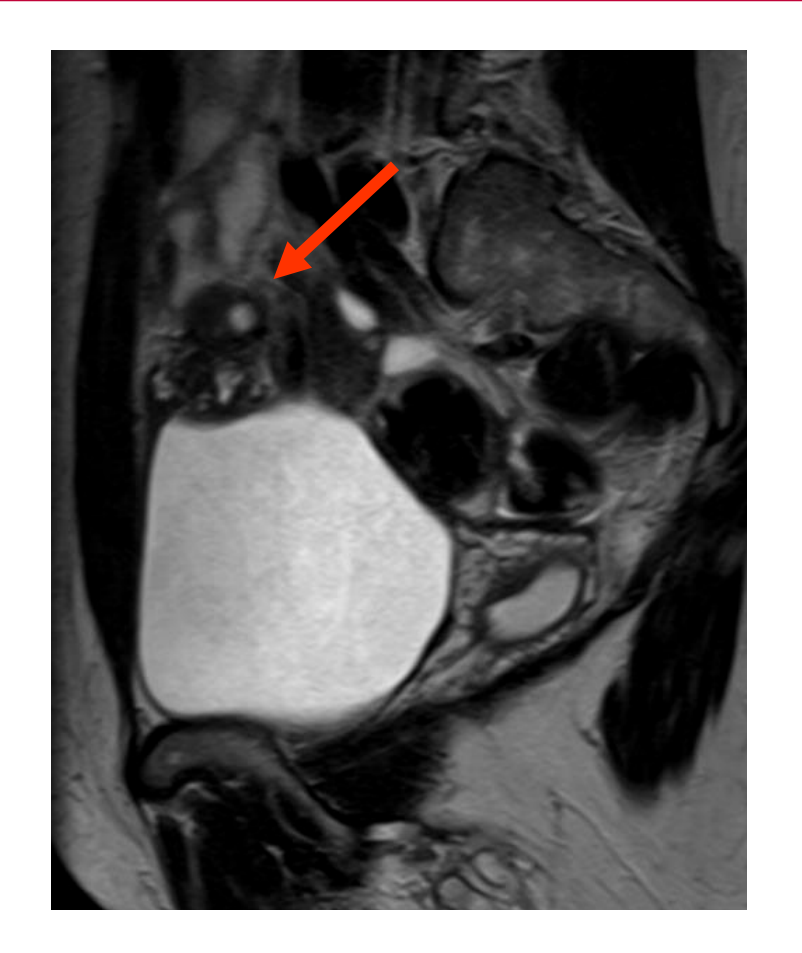
Frozen Pelvis

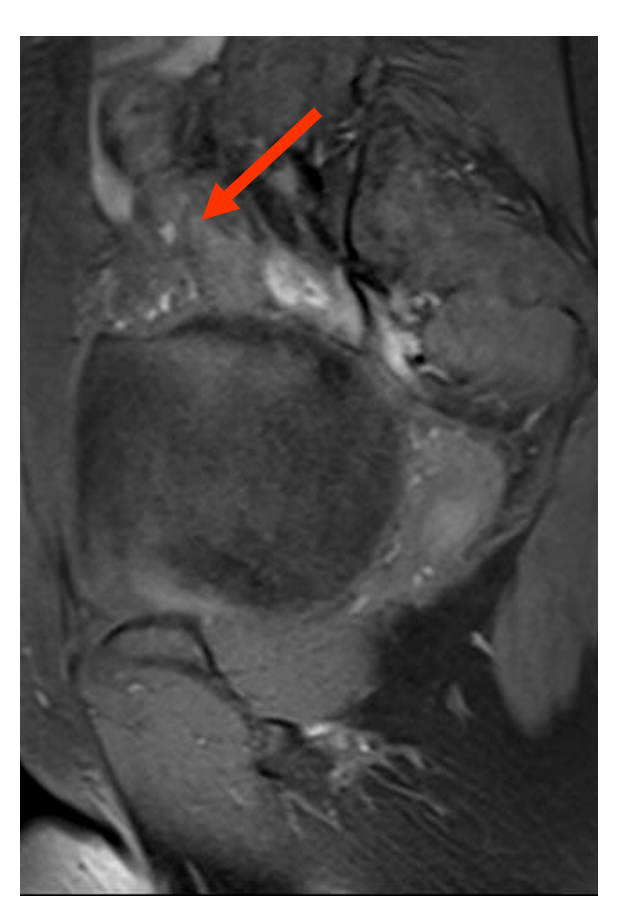






Endometriose Excavatio vesico-uterina / Harnblase

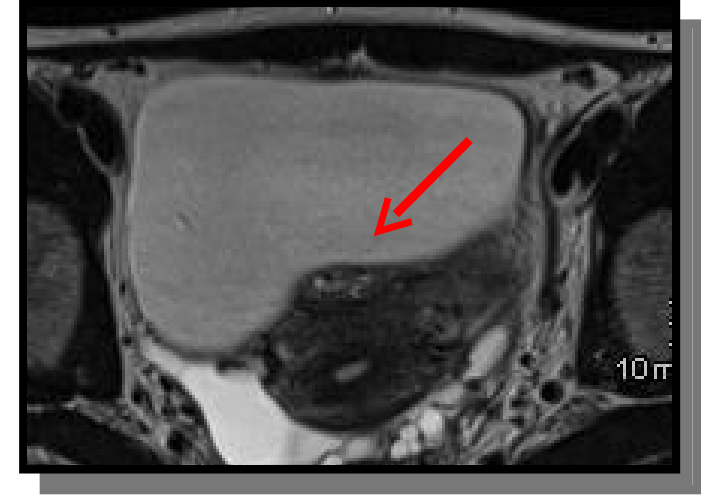


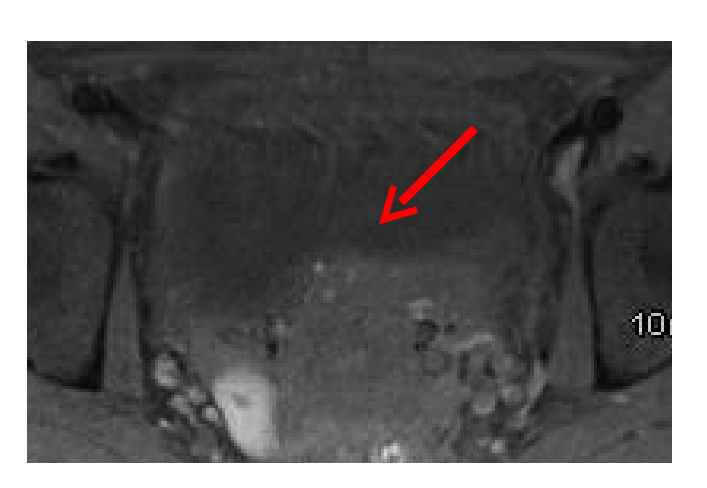


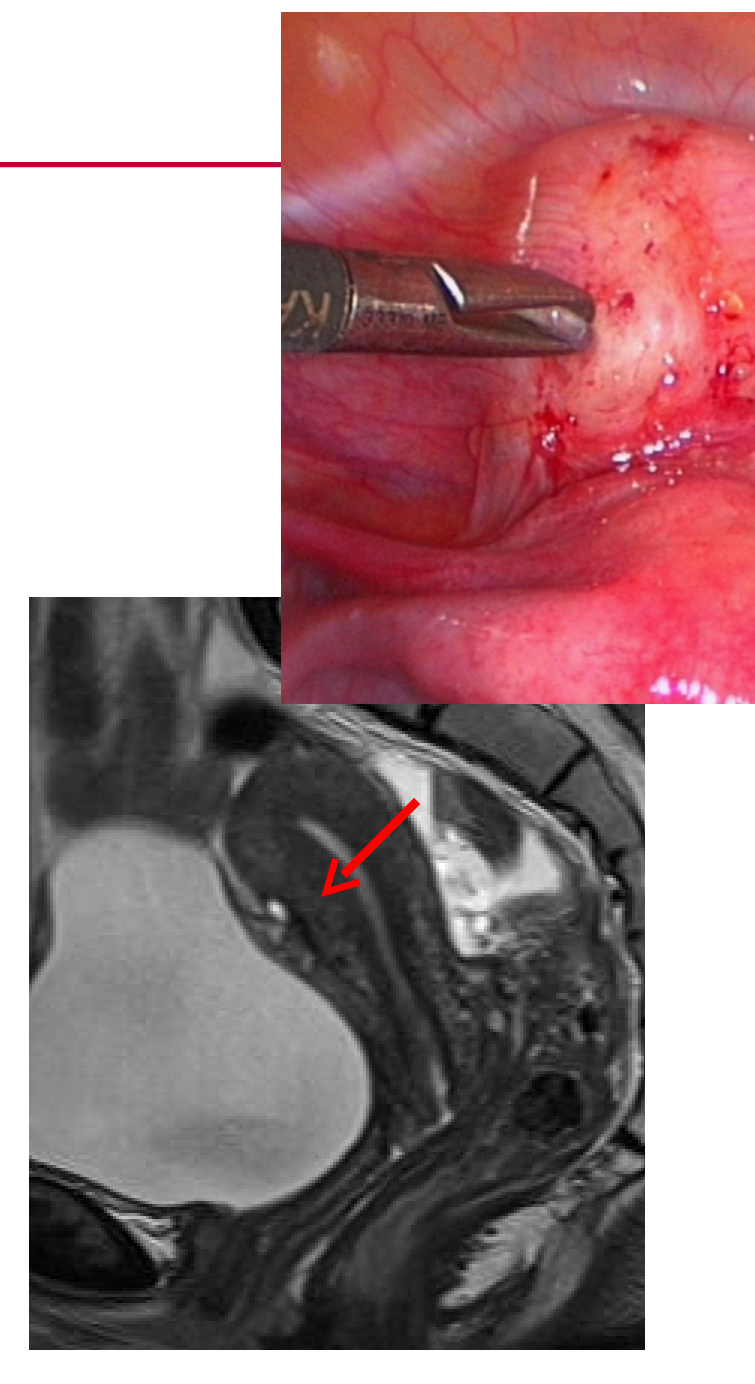
Häufigkeit 1-15% (Rückwand und Dach der HB)



Harnblase



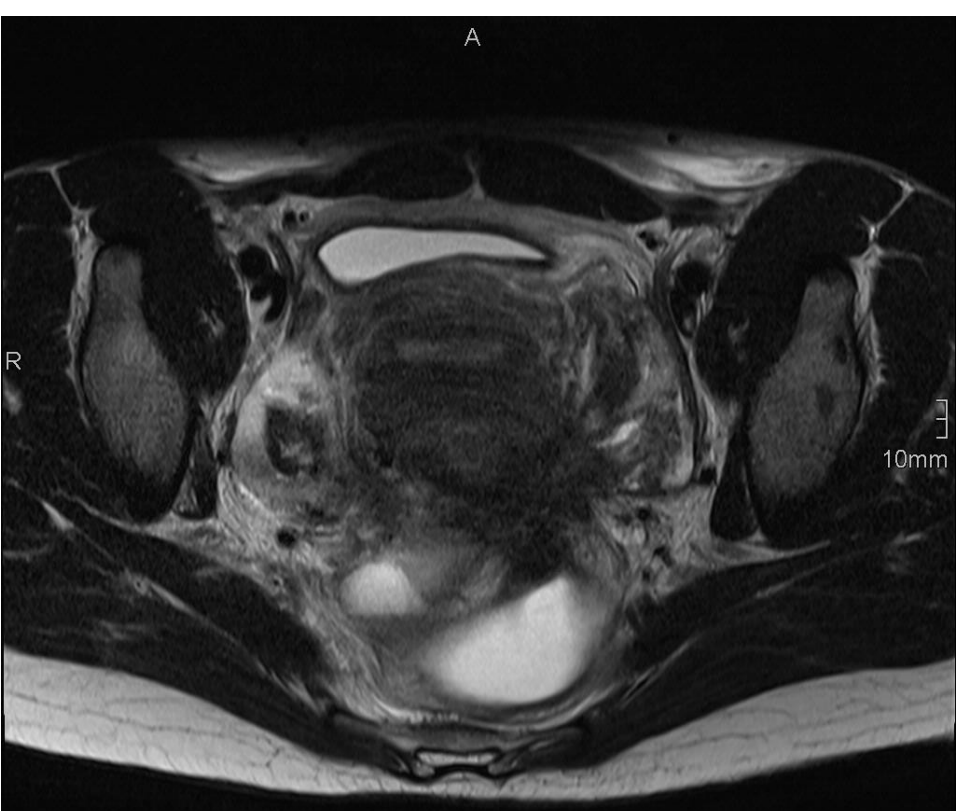






Ureter







Ergebnisse MRT - Harnblase

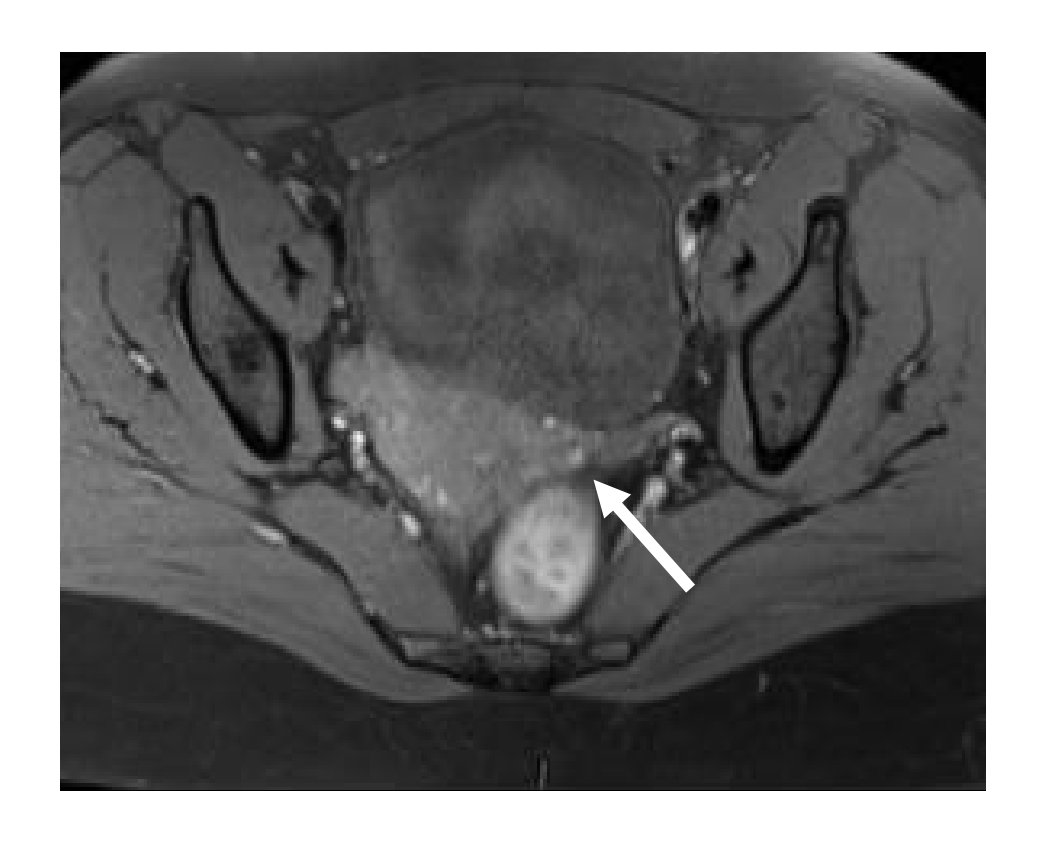


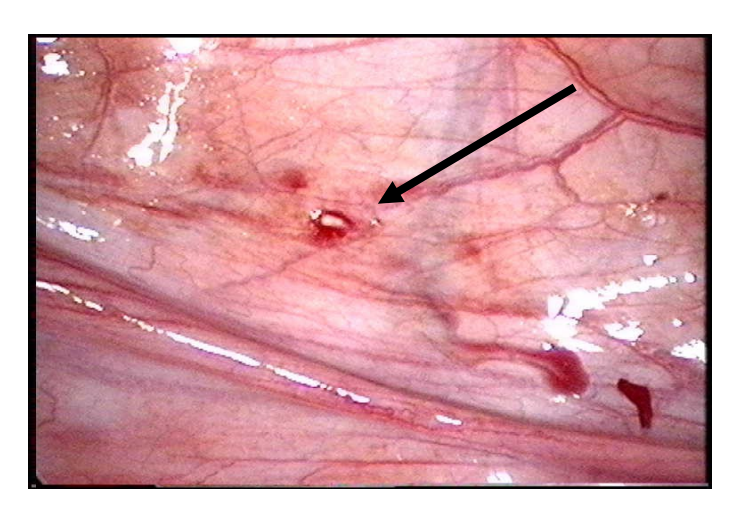
3 Tesla MRT: tief infiltrierende Endometriose

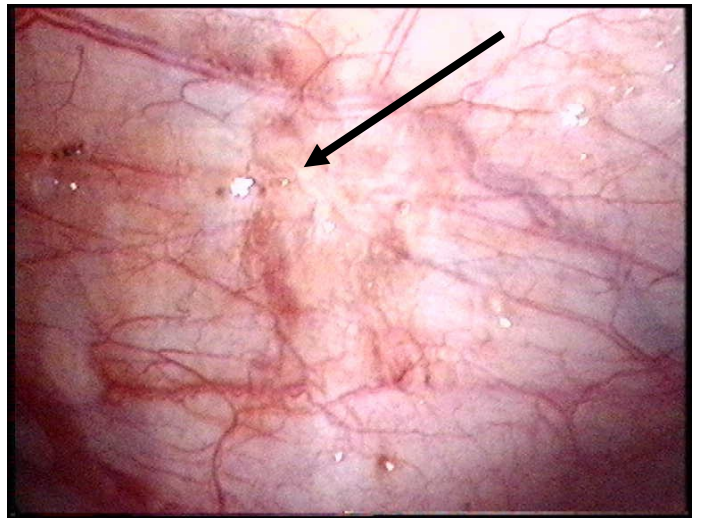
41 Patienten	Gesamt	
Sensitivität	96,3 %	
Spezifität	100 %	
NPV	93,3 %	
PPV	100 %	
Treffsicherheit	97,6 %	



Peritoneale Endometriose









Ergebnisse MRT - Peritoneum

Sensitivität 5 %

Spezifität 94 %

Eigene Studie* Sensitivität 35%

Spezifität 88%

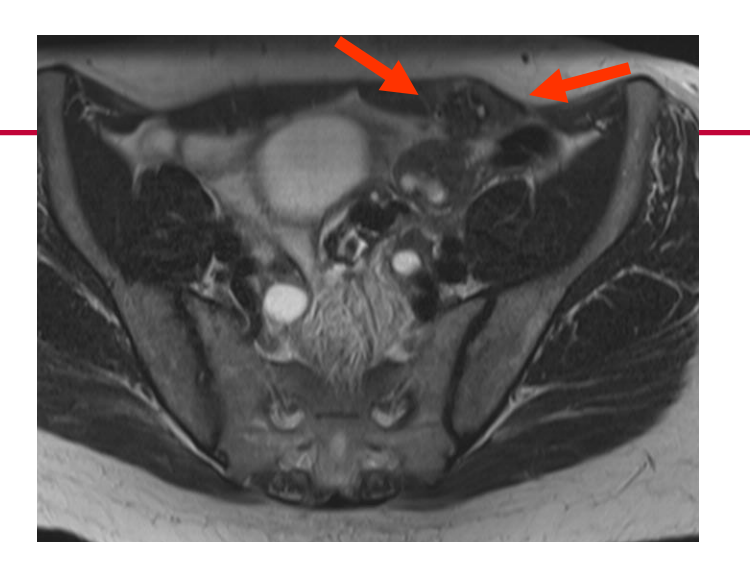
PPV 60%

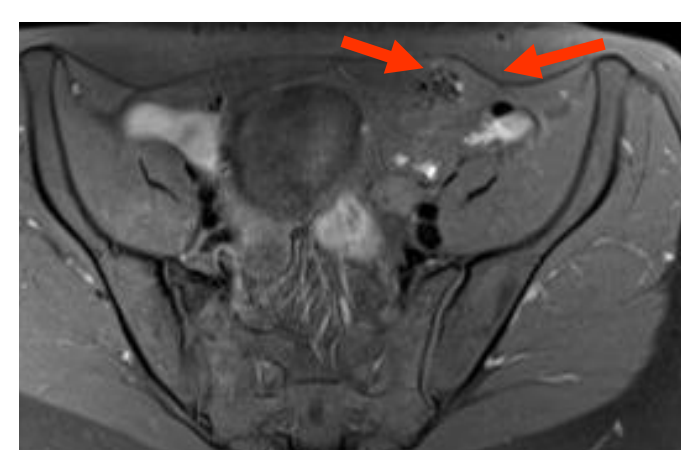
NPV 73%



Endometriose der Abdominalwand





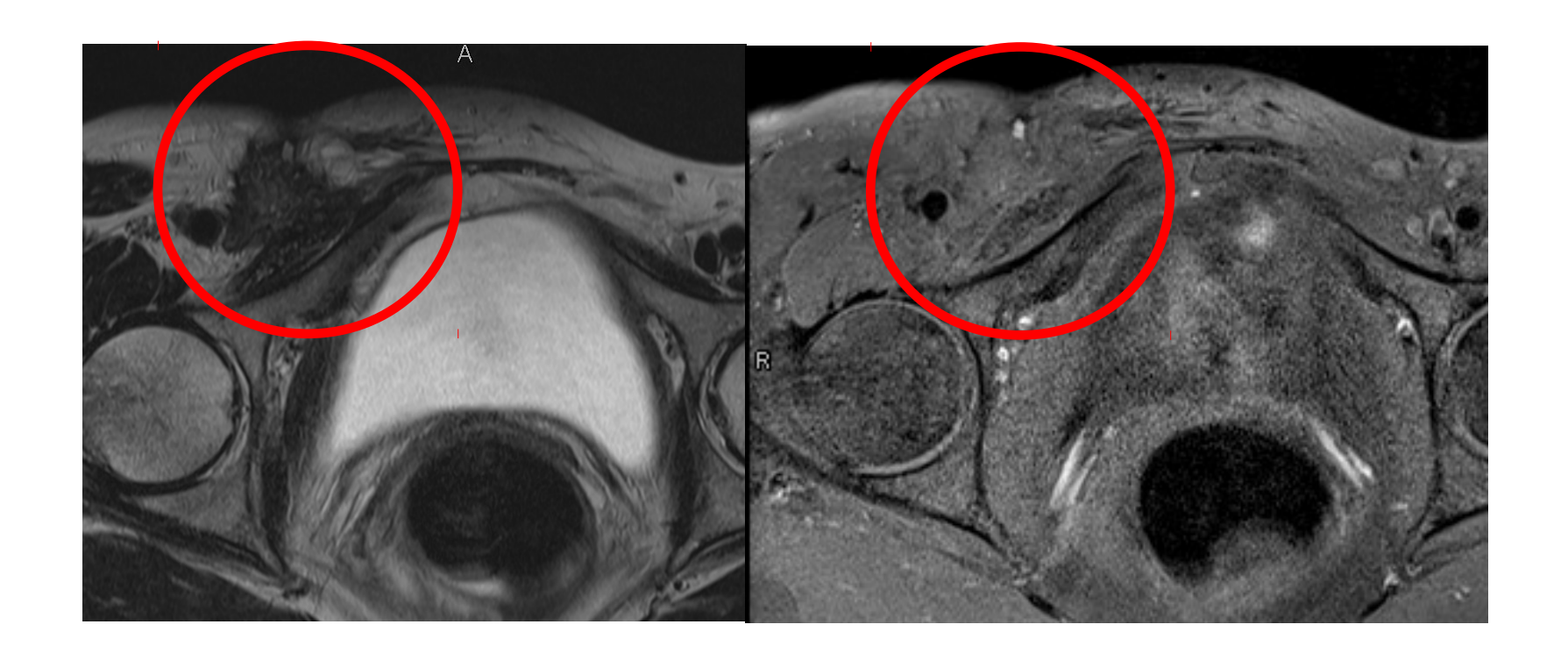


Häufigste extrapelvine Lokalisation, in 1% Nach Hysterketomie oder Sectio

Mögliche extrapelvine Lokalisationen: Leber, Pleura, Lunge, Perikard

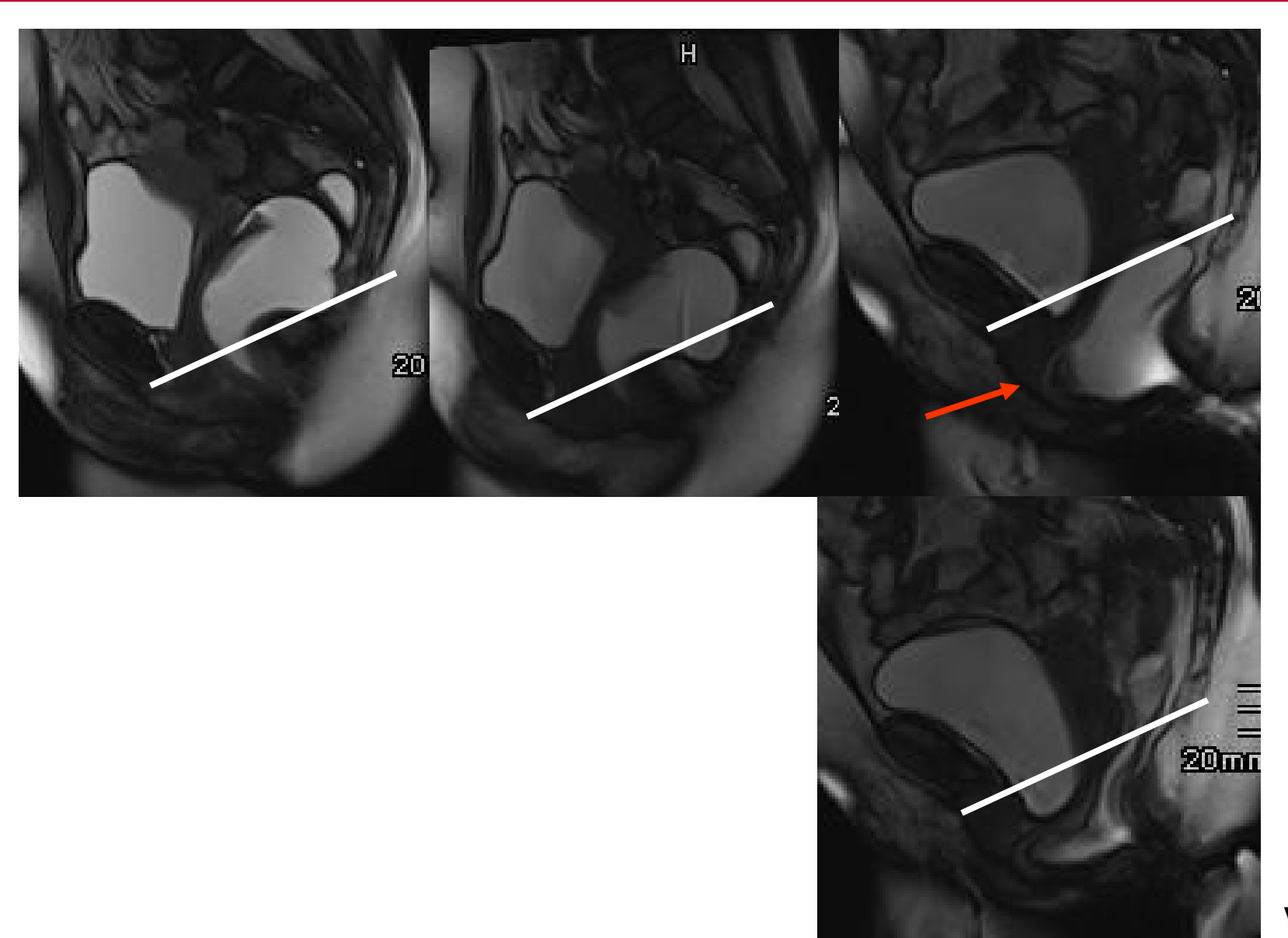


Lymphknoten Endometriose mit Rezidiv





MR - Defäkographie





Zusammenfassung

Zervix Karzinom

Ausbreitungsdiagnostik ab Stadium IB2

Verlauf unter Therapie und Rezidivdiagnostik

Tumore des Uterus

Leiomyom

Ätiologie, genaue Lage, Therapieentscheidung

Endometriumkarzinom

Ausbreitungsdiagnostik, operatives Staging

Tumore des Ovars

Differenzierung benigne versus maligne operatives Staging



Zusammenfassung

Adenomyosis uteri

- TVUS ≈□□□
- Vorteile für MRT bei Kombinationen mit weiteren Pathologien, z.B.
 Leiomyom
- Beachtung des richtigen Untersuchungszeitpunktes

Endometriosis genitalis externa – extragenitale Endometriose

- übersichtliche Darstellung
- Ergebnisse werden durch Lokalisation der Endometriose beeinflusst
- Probleme: Infiltrationstiefe, peritoneale Endometriose



